

# ممبران‌های فتوکاتالیستی أنواع، خواص، کاربرد

سپیده پورهاشم، وحیده تاجر کجینه‌باف، حسین سربولکی

گروه سرامیک، دانشکده مواد و متالورژی، دانشگاه علم و صنعت ایران

hsarpoolaky@iust.ac.ir

**چکیده:** ممبران‌ها نقش مهمی را در تصفیه آب، ضد عفونی کردن فاضلاب‌ها و پساب‌های صنعتی، نمک‌زدایی آب و ریشه‌کنی بیماری‌های ایجاد شده از طریق آب، بازی می‌کنند. در سال‌های اخیر نیز تلاش‌های زیادی در زمینه گسترش تکنولوژی فتوکاتالیست‌ها به منظور استفاده در فرآیندهای حفاظت از محیط زیست مانند ضد عفونی کردن آب و تصفیه هوا با روش‌های مختلف و بخصوص استفاده از ممبران‌ها صورت گرفته است. این تکنولوژی دوستدار محیط زیست و کم هزینه بوده و روشی مناسب برای تصفیه آب و هواست. با استفاده از روش ممبران‌های فتوکاتالیست می‌توان محیط مورد نظر را از آلاینده‌های آلی و میکروارگانیزم‌ها پاک‌سازی کرد و محصولات و مواد جانبی واکنش فتوکاتالیستی را نیز از محیط خارج نمود. در مقاله حاضر، تأثیر اجمالی به ممبران‌های فتوکاتالیست، خواص و کاربرد آن‌ها شده و چگونگی عملکرد چنین سیستمی به تفصیل مورد بحث و بررسی قرار گرفته است. همچنین پس از بررسی نحوه عملکرد انواع راکتور ممبران‌های فتوکاتالیست، به تعدادی از کارهای پژوهشی صورت گرفته در این راستا توسط سایر محققین گروه حاضر اشاره شده است.

**کلمات کلیدی:** ممبران، فتوکاتالیست، ممبران‌های فتوکاتالیست، راکتور ممبران‌های فتوکاتالیستی، تیتانیا، تصفیه آب.

## ۱- مقدمه

افزایش بی‌رویه جمعیت از مهمترین مشکلات فزاینده در قرن بیست و یکم است و بی‌شك آب یکی از مهمترین کلیدهای زنده‌ماندن بشریت در این قرن خواهد بود. میزان دسترسی به آب سالم و بهداشتی در نقاط مختلف دنیا متفاوت است. در کشورهایی مانند کانادا که از نظر منابع آبی غنی هستند، سالانه بیش از ۱۰ لیتر آب آشامیدنی برای هر نفر در سال وجود دارد؛ این در حالی است که در مالت، لیبی و دیگر کشورهای فقیر این مقدار به سختی به حدی می‌رسد که بتواند یک وان حمام را پر کند. حال این سوال مطرح است که آب مورد نیاز نسل‌ها و جمعیت‌های آینده از کجا باستی تأمین شود؟ راههای گوناگونی برای رسیدن به این مهم در چشم‌انداز دولت‌های مختلف جهان قرار گرفته است. بی‌شك استفاده صحیح از آب در بخش‌های مختلف صنعتی، کشاورزی و ... می‌تواند اساسی‌ترین گام برای رسیدن به این هدف باشد؛ اما این راهکار به تنها‌یی در دراز مدت کافی نخواهد بود. با توجه به اینکه دو سوم کره زمین را آب شور غیر قابل استفاده فراگرفته، تصفیه و جداسازی یک راه حل مفید و نهایی برای مشکل مذکور است؛ ممبران‌های نیمه‌نفوذپذیر و پوشش‌های آنتی باکتریال از جمله موضوعات ارزشمند این قرن هستند<sup>[۱]</sup>.

به طور کلی ممبران را می‌توان به عنوان سدی نیمه تراوا و یا یک الک ریز تعریف کرد که از ارتباط نزدیک دو فاز هموزن جلوگیری کرده و اجازه عبور فاز خاصی را فراهم می‌کند. امروزه ممبران‌ها جایگاه مهمی را در تکنولوژی شیمیایی به دست آورده‌اند؛ به گونه‌ای که در محدوده وسیعی از کاربردها، به کار گرفته می‌شوند. ویژگی کلیدی و مهم ممبران‌ها، توانایی آن‌ها در کنترل سرعت نفوذ گونه‌های شیمیایی هنگام عبور است. ممبران‌ها گذشته از جداسازی، از طریق فراهم ساختن سطح مخصوص بالا می‌توانند در فرآیندهای



کاتالیستی به کار گرفته شوند و انجام فرآیندهای مانند واکنش شیمیایی و نفوذ را فراهم سازند. انتخاب یک ممبران توسط چندین پارامتر تعیین می‌گردد که این فاکتورها شامل وزن مولکولی و نوع ماده مورد حذف، خواص و ویژگی‌های کیفی منبع مصرفی، کیفیت لازم برای محصولات جداسازی شده، اندازه حفره‌های ممبران، دما، فشار و پیکربندی سیستم ممبران است. از لحاظ اقتصادی این تکنولوژی در مقایسه با اکثر فرآیندهای مرسوم تصفیه جایگاه مناسبی دارد و همچنین، کاهش هزینه‌های انرژی، امکان بازیابی مواد، کاهش تاثیرات زیستمحیطی و تحقق یک فرآیند پیوسته از عواملی هستند که قابلیت رقابت روش جداسازی ممبرانی در برابر روش‌های دیگر جداسازی را فراهم می‌کنند؛ اما، یکی از مشکلات ممبران‌های فیلتراسیون تجاری، تمایل زیاد آن‌ها به رسوب گیری توسط آلاینده‌هاست [۶-۲].

از سوی دیگر با استفاده از خواص ارزشمند فوتوكاتالیستی مواد، امکان تخریب آلاینده‌ها و یا تبدیل آن‌ها به موادی که توسط میکروارگانیزم‌ها تجزیه می‌شوند، فراهم می‌شود. در تکنولوژی فوتوكاتالیست‌ها، از تابش فرابنفش و یا نور خورشید برای تجزیه و متلاشی کردن مواد آلی استفاده می‌شود. از روش‌های فوتوكاتالیستی برای پاکسازی محلول‌ها از مواد رنگی، فنول‌ها، ترکیبات حاوی کلر، باکتری‌های بیماری‌زا، مواد سمی و نیترات‌ها در شرایط آزمایشگاهی استفاده می‌گردد. اما استفاده از روش‌های فوتوكاتالیستی برای تصفیه باعث تشکیل مولکول‌هایی از آلاینده‌ها می‌گردد که تحت تخریب کاتالیستی قرار نگرفته‌اند و همچنین محصولات میانی و فرآورده‌های جانبی اکسیداسیون کاتالیستی در محلول تصفیه شده باقی می‌ماند و راندمان تصفیه را کاهش می‌دهد. به علاوه، مشکل جداسازی کاتالیست برای استفاده مجدد نیز وجود خواهد داشت [۹-۶].

در این شرایط، استفاده همزمان از دو فرآیند جداسازی ممبرانی و فوتوكاتالیستی راهی برای حل مشکلات مذکور خواهد بود که کاربرد آن در اروپا و آمریکا موفقیت‌آمیز گزارش شده است. این سیستم مرکب، از خواص فوتوكاتالیستی برای تجزیه مواد آلی و از خواص جداسازی ممبرانی به عنوان سدی در برابر مواد سمی تضمین می‌کند. لازم به ذکر است که جداسازی این مواد از طریق ترکیب فرآیند فوتوكاتالیستی با سیستم ممبرانی میکروفیلتراسیون، اولترافیلتراسیون، نانوفیلتراسیون، اسمز معکوس و تراوش تبخیری<sup>۱</sup> می‌تواند به دست آید [۱۰، ۷].

بررسی‌ها نشان می‌دهد بازار صنعتی برای تجهیزات تصفیه و استفاده مجدد آب در اروپا و خاورمیانه به بیش از ۲۷۹ میلیون دلار در دوره سه ساله ۲۰۰۳ تا ۲۰۰۵ رسیده است. با تخمین رشد سالانه به میزان ۷٪، این بازار دارای پتانسیل ۵۳۱ میلیون دلار از سال ۲۰۱۲ تا ۲۰۱۴ خواهد بود. سهم بازار تجهیزات تصفیه فاضلاب ایالات متحده در سال ۲۰۰۴ بالغ بر ۷۷۴/۴ میلیون دلار بوده و تخمین زده می‌شود در سال ۲۰۱۱ به ۱۳۲۴/۱ میلیون دلار برسد. علاوه بر رشد جمعیت، افزایش هزینه آب سالم و آگاهی عمومی در زمینه حفظ منابع آب همگی سبب افزایش تقاضای تجهیزات تصفیه فاضلاب شده‌اند. در ایالات متحده بازار ممبران‌های مورد استفاده در کاربردهای جدایش و غیرجدایش در حال حاضر ۵ میلیارد دلار تقریب زده می‌شود که با متوسط رشد سالانه ۶٪ و مطابق با گزارش شرکت ارتباطات تجارت (BCC) انتظار می‌رود به ۶/۹ میلیارد دلار در سال ۲۰۰۹ برسد. سیستم ممبران‌های جدایش مایع و گاز با ارزش فعلی ۲/۲ میلیارد دلار پیش‌بینی می‌شود در سال ۲۰۰۹ به ۹/۹ میلیارد دلار برسد. بازار ممبران‌های غیرجدایش مورد استفاده با کارایی بالا نیز دارای ارزش ۲/۸ میلیارد دلار است. ارائه این ارقام نشان‌دهنده اهمیت بسیار زیاد ممبران‌ها و توجه روز افزون به آن‌ها در صنایع تصفیه و پالایش است. بر این اساس می‌توان پیش‌بینی نمود ممبران‌های فوتوكاتالیست به دلیل دارا بودن ویژگی‌های برتر تقاضای بیشتری را به خود اختصاص دهنند [۱۱].

<sup>۱</sup> Pervaporation



## ۲- انواع ممبران‌ها

مبران‌ها را بر اساس معیارهای مختلفی از قبیل جنس، ترکیب شیمیایی و ساختار فیزیکی، اندازه حفرات و نوع مدول طبقه‌بندی می‌کنند. ممبران‌ها از لحاظ جنس به دو دسته آلتی (پلیمری) و غیر آلتی (سرامیکی، فلزی) تقسیم‌بندی می‌شوند. ممبران‌ها از نظر فعالیت کاتالیستی، فعال یا خنثی، از نظر تخلخل، متخلخل یا متراکم و از دید ساختاری، متقارن یا نامتقارن هستند. ممبران‌های متقارن دارای ترکیب شیمیایی و خواص فیزیکی یکسان در طول سطح مقطع خود بوده؛ در حالی که ممبران‌های نامتقارن در طول سطح مقطع خود یکنواخت نبوده و شامل لایه‌هایی هستند که از لحاظ ساختار و یا ترکیب شیمیایی با یکدیگر تفاوت دارند. با توجه به نوع ماده ممبران، شکل‌های موجود برای ممبران متفاوت خواهد بود. در انواع ممبران‌های پلیمری با چهار شکل مواجه هستیم: تخت، لوله‌ای شکل، حلزونی شکل و الیاف توخالی؛ ولی در نوع سرامیکی امکان تهیه نوع مارپیچی وجود ندارد. گردایان فشار، پتانسیل الکتریکی، غلظت و دما از انواع نیروهای حرکه برای فرآیندهای ممبرانی هستند. ممبران‌ها با نیروی محرکه فشاری بر اساس اندازه حفره خود به اسمزمعکوس، نانوفیلتراسیون، اولترافیلتراسیون و میکروفیلتراسیون تقسیم‌بندی می‌شوند؛ در ترتیب ذکر شده اندازه حفره‌های ممبران افزایش می‌یابد [۵، ۱۱، ۱۲].

## ۳- ممبران‌های فتوکاتالیستی

### ۳-۱- معرفی

مبران‌های فتوکاتالیست در حقیقت سیستم‌هایی هستند که امکان استفاده از خواص فتوکاتالیستی و فرآیند جداسازی ممبران‌ها را به طور همزمان فراهم می‌کنند. در این سیستم‌ها، از ممبران‌های فعال کاتالیستی که به طور مستقیم در فرآیند تخریب مواد به علت خواص فتوکاتالیستی شان حضور دارند، استفاده می‌شود. ممبران‌های کاتالیستی فعال از طریق تشکیل یک لایه دینامیک از ذرات یک ماده که از نظر کاتالیستی فعال است، بر زیربایه‌ای متخلخل و نیمه‌نفوذپذیر و یا به وسیله غیر متحرک کردن کاتالیست بر زیربایه‌ای مناسب و متخلخل ساخته می‌شوند و برای جداسازی مواد آلی مختلف از محلول و یا هوا به کار گرفته می‌شوند [۷، ۱۰، ۱۴-۱۹].

### ۳-۱-۱- خواص ممبران‌های فتوکاتالیست

از مهمترین خواص ممبران‌های فتوکاتالیست می‌توان به موارد زیر اشاره کرد [۷، ۱۰، ۱۴-۱۹]:

- عملکرد فتوکاتالیستی و جداسازی ممبران در یک سیستم یکپارچه که به طور پیوسته قابل استفاده است، صورت می‌گیرد.
- استفاده موثر از نور فرابنفش و فعالیت فتوکاتالیستی با محدود کردن فتوکاتالیست به محیط واکنش با استفاده از ممبران انجام‌پذیر است.
- زمان باقی ماندن مولکول‌ها در سیستم تصفیه قابل کنترل است.
- فرآیندهای اضافه مانند کوآگولاسیون، فلوکولاسیون و رسوب‌گیری جهت جداسازی کاتالیست از محلول تصفیه شده، لازم نبوده و از مزایای آن، صرفه‌جویی در هزینه‌ها و کاهش ابعاد تاسیسات است.
- امکان استفاده مجدد از فتوکاتالیست در دفعات بعدی تصفیه وجود داشته و در واقع، مشکل جداسازی ذرات معلق فتوکاتالیست از سوسپانسیون حذف می‌شود.
- به دلیل کاهش مقاومت در برابر انتقال جرم بین حجم سیال و سطح فتوکاتالیست، سرعت واکنش افزایش می‌یابد.

### ۳-۱-۲- کاربرد ممبران‌های فتوکاتالیست

آلودگی‌های محیط زیست که در جهان و زندگی روزمره در حال رشد است، مشکلی جدی است که نباید



نسبت به آن بی توجه بود. نمونه هایی از این آلودگی ها به شرح زیر است:

- آلودگی های آب در اثر فاضلاب های صنعتی و خانگی
- بیماری های تنفسی به وسیله آلاینده های هوا مانند  $\text{SO}_x$  و  $\text{NO}_x$
- آلاینده های هوای اتاق به وسیله ترکیبات آلی خارج شده از مواد جدید ساختمانی
- خروج دیوکسین هنگام سوختن مواد رزینی

در چنین شرایطی نیازمند موادی هستیم که بتوانند با استفاده از انرژی طبیعی و ارزان قیمت، به آرامی محیط زیست آلوده را اصلاح کرده و به حالت اول برگردانند [۲۰]. در تکنولوژی فوتوكاتالیستها، از تابش فرابنفش برای تجزیه و متلاشی کردن مواد آلی استفاده می شود. عملکرد فوتوكاتالیستها را می توان به ۵ دسته اصلی تقسیم نمود [۲]:

- پاکسازی آب
- جلوگیری از آلودگی
- خواص آنتی باکتریال
- از بین بردن بوی نامطلوب
- پاکسازی هوا

ممبران های فوتوكاتالیست کاربرد گسترده ای در کنترل و بهبود محیط زیست دارند و آلاینده هایی که توسط ممبران های فوتوكاتالیست تخریب می شوند، گستره وسیعی از ترکیبات آلی و غیرآلی و حتی عوامل بیماری زا مانند ویروس ها و باکتری ها را شامل می شوند.

محیط کاربرد ممبران های فوتوكاتالیست به دو دسته کلی تقسیم می شود: ۱) محیط های گازی و ۲) محیط های آبی [۲۱]. در محیط های گازی، از ممبران های فوتوكاتالیست برای تصفیه هوای اتاق، پاکسازی محیط های آلوده و اتمسفرهای صنعتی و در محیط های آبی برای تصفیه فاضلاب های صنعتی، تصفیه آب آشامیدنی، کاربردهای خانگی و تولید آب های فوق العاده تمیز استفاده می شود [۲۲].

هوای داخل اتاق یکی از عوامل موثر در سلامتی است و راههای جلوگیری از آلودگی هوای اتاق به سه دسته تقسیم می شود: ۱) از بین بردن منبع آلودگی و یا کنترل مواد خروجی از آن، ۲) تهویه و ۳) پاکسازی هوا. اگرچه روش سوم را نمی توان جایگزین روش اول و دوم دانست؛ ولی روش پاکسازی، راه حل مناسبی برای حل مشکلات است. معمولاً پالاینده های هوا درون دریچه ها و منافذ هوکش قرار می گیرند و یا به صورت یک دستگاه قابل حمل در داخل اتاق قرار داده می شوند. سیستم هایی که استفاده تجاری دارند، شامل فیلتراسیون، رسوب گیری الکترواستاتیکی، تولید کننده ازن، تبادل گرهای یونی و میکروب کش های فرابنفش هستند. تکنولوژی فوتوكاتالیستها دارای محصولات تجاری در حال رشدی است که تمایل به استفاده از آن ها در سال های اخیر افزایش چشم گیری داشته است [۲۳].

لازم به ذکر است با توجه به سرعت بالای صنعتی شدن در دهه های گذشته، تامین آب آشامیدنی با کیفیت به عنوان منبعی گران بها مورد توجه قرار گرفته است. همچنین، آلودگی منابع آب با مواد شیمیایی آلی خطرناک که در صنعت و کشاورزی استفاده می شوند، یک مشکل جدی است. صنایع غذایی، داروسازی، رنگرزی پارچه، آفت کشی و غیره حجم زیادی از فاضلاب ها را تولید می کنند و از بزرگترین آلاینده های صنعتی به شمار می آیند. کمیابی منابع طبیعی آب در جهان زمینه ساز گسترش روش های تصفیه آب شده است تا این منابع حفظ و نگهداری شوند [۲۴، ۲۵].

### ۱-۳-۳- خواص فوتوكاتالیستی

فوتوكاتالیست به موادی گفته می شود که به منظور تشدید سرعت یک واکنش نوری به عنوان یک کاتالیست استفاده می شوند و یا به موادی گفته می شود که به نور حساس هستند و در اثر تابش نور، دگرگونی فیزیکی



یا شیمیایی نوری در ذرات مولکولی آن‌ها اتفاق می‌افتد. یک کاتالیست نوری، انرژی اکتیواسیون واکنش‌ها را کم کرده و در نتیجه با اعمال نور، ذراتی با توانایی اکسیداسیون و احیاء قوی ایجاد می‌گردد. در تکنولوژی فوتوكاتالیست‌ها، از تابش فرابنفش برای تجزیه و متلاشی کردن مواد آلی استفاده می‌شود و خواص سوپرآبدوستی که فوتوكاتالیست روی سطح مواد ایجاد می‌کند، باعث ایجاد خواص ضد مه، ضدغونی کنندگی، بوزدایی، پاکسازی، تصفیه آب و هوا می‌گردد [۲۶]. بطور کلی ۵ مرحله اساسی در واکنش‌های فوتوكاتالیستی وجود دارد:

۱- انتقال واکنش کننده‌ها از محیط به سطح فوتوكاتالیست

۲- جذب واکنش کننده

۳- انجام واکنش شامل:

.۱. جذب فوتون توسط کاتالیست

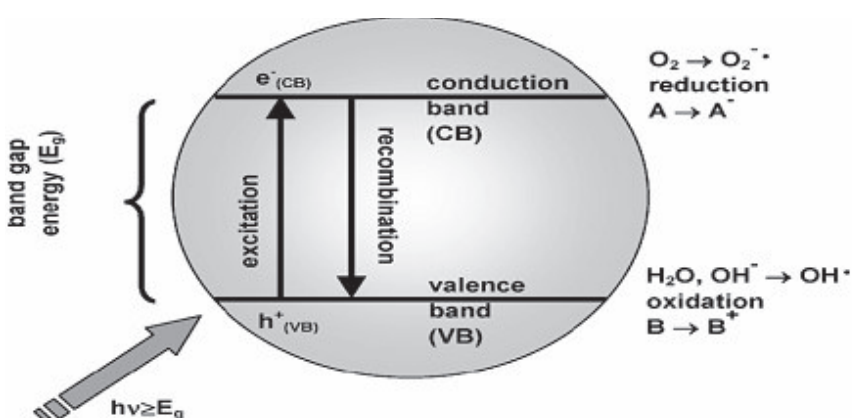
.۲. تولید الکترون-حفره

.۳. واکنش‌های انتقال الکترون

۴- واجذبی محصولات

۵- جدایش محصولات از سطح جدایش کاتالیست محیط [۲۷].

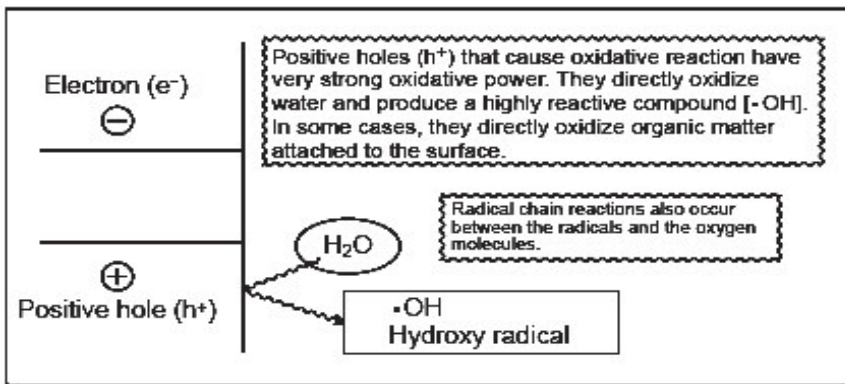
بطور کلی برای اینکه واکنش فوتوكاتالیستی صورت پذیرد لازم است ابتدا نور با طول موج معینی متناسب با نوار ممنوعه به کاتالیست مورد نظر برخورد کرده و با ایجاد یک جریان الکتریکی در سطح آن، شرایط لازم برای انجام واکنش‌های اکسیداسیون-احیا را فراهم کند. نتیجه این برخورد، پیدایش جفت الکترون ( $e^-$ ) و حفره ( $h^+$ ) است که حرکت آن‌ها در داخل ماده، جریان الکتریکی مورد نیاز برای انجام واکنش را به ارگان خواهد آورد. شکل ۱ شماتیک چگونگی انجام فرایند فوتوكاتالیستی را نمایش می‌دهد. رسیدن این بارها به سطح ماده و انجام واکنش‌های اکسایش-احیا منطبق با نوع بارها منجر به تجزیه مواد آلی و معدنی خواهد شد. بنابراین انجام این واکنش مستلزم مراحل مختلفی است که عوامل ساختاری به شکل‌های گوناگون بر روی آن تأثیرگذار هستند [۳۰-۳۱].



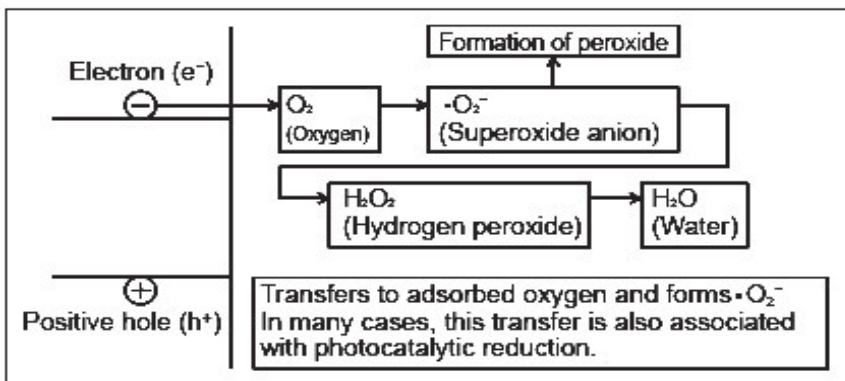
شکل ۱- واکنش‌های اکسایش-احیا روی سطح فوتوكاتالیست [۲۹]

گروههای هیدروکسیل موجود در سطح نقش مهمی را در فرآیند تخریب فوتونی ایفا می‌کنند؛ بنابراین در طی یک واکنش اکسایشی حفره‌های تولید شده با فوتون واکنش داده و باعث تولید رادیکال‌های بسیار واکنش‌پذیر  $\text{OH}^-$  می‌شوند که بسیاری از آلودگی‌ها خصوصاً ترکیب‌های آلی را به ترکیب‌های معدنی بی‌ضرر مانند آب،  $\text{CO}_2$  و یون‌های دیگر تبدیل می‌کنند. همچنین نقش غیرمستقیم در تولید رادیکال‌های اکسیژن داشته و از جفت شدن مجدد الکترون-حفره جلوگیری می‌کند [۳۱]. مکانیزم‌های اکسایش و احیا به صورت شماتیک در شکل ۲ نشان داده شده است [۲۹ و ۳۲].





### Oxidation mechanism



### Reduction mechanism

شکل ۲- مکانیزم‌های اکسایش-احیا [۲۹]

## ۳- انواع رآکتور ممبران‌های فتوکاتالیستی

ترکیب فرآیند جداسازی ممبران‌ها و فتوکاتالیستی در یک سیستم "رآکتور ممبران‌های فتوکاتالیستی"<sup>۱</sup> نامیده می‌شود که به اختصار آن را PMR می‌نامند. البته واژه‌های دیگری نیز از جمله رآکتور شیمیایی ممبران<sup>۲</sup>، رآکتور ممبران<sup>۳</sup>، فوتورآکتور ممبرانی<sup>۴</sup> و رآکتور اولترافیلتراسیون-فتوکاتالیست<sup>۵</sup> برای معرفی آن به کار برده می‌شود؛ ولی از آنجایی که همه این نام‌ها به معنای پیوند فرآیند ممبران با خواص فتوکاتالیستی است، استفاده از واژه "رآکتور ممبران‌های فتوکاتالیستی" مناسب‌تر از سایرین به نظر می‌رسد [۱۴]. "رآکتور ممبران‌های فتوکاتالیستی" متحمل‌ترین نوع رآکتورهای قابل استفاده برای تصفیه هستند. رآکتور ممبران‌های فتوکاتالیستی را می‌توان به دو گروه کلی تقسیم نمود [۷]:

- رآکتور ممبران‌های فتوکاتالیستی متوالی<sup>۶</sup> که اکسیداسیون فتوکاتالیستی آلانده‌ها و جداسازی محلول مورد تصفیه توسط ممبران در گام‌هایی جداگانه انجام می‌گیرد.
- رآکتور ممبران‌های فتوکاتالیستی مرکب<sup>۷</sup> که تخریب فتوکاتالیستی و فرآیند ممبران همزمان در یک مکان صورت می‌گیرد.

<sup>1</sup> photocatalytic membrane reactor

<sup>2</sup> membrane chemical reactor

<sup>3</sup> membrane reactor

<sup>4</sup> membrane photoreactor

<sup>5</sup> photocatalysis- ultrafiltration reactor

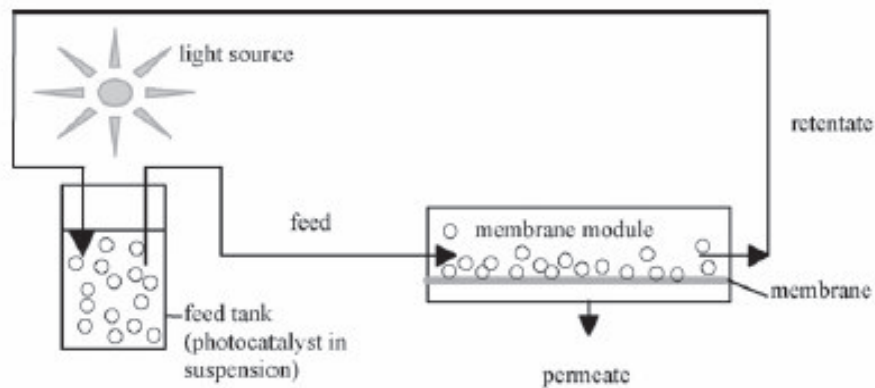
<sup>6</sup> sequential PMRs

<sup>7</sup> combined PMRs

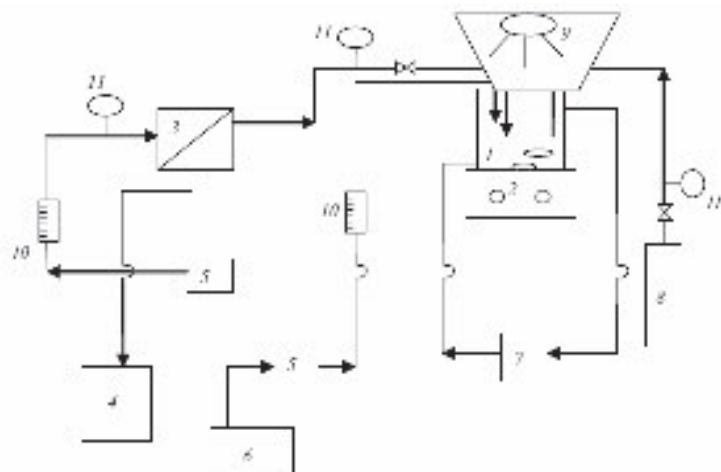


### ۱-۲-۳- رآکتور ممبران‌های فتوکاتالیستی متواالی

در این رآکتورها، ابتدا اکسیداسیون فتوکاتالیستی آلاینده‌ها صورت گرفته و سپس محلول حاصل به قسمت تصفیه ممبران تغذیه می‌گردد. شکل ۳ و ۴ نمایشی از رآکتور ممبران‌های فتوکاتالیستی متواالی را نشان می‌دهند. محلولی که باید از آلاینده‌های آلی پاک‌سازی گردد با کاتالیست‌هایی معلق مخلوط می‌شود و در شرایط مخلوط شدن بیوسته، این محلول تحت تابش نور فرابنفش قرار می‌گیرد تا فرآیند فتوکاتالیستی جهت تخریب این مواد آغاز شده و در ادامه به مرحله جداسازی توسط ممبران‌ها منتقل گردد. محلول نفوذ کرده از ممبران و تصفیه شده، ذخیره می‌شود؛ در حالی که مواد پس‌زده شده توسط ممبران دوباره به سیستم رآکتور ممبران‌های فتوکاتالیستی باز می‌گردد. به منظور فعال کردن فرآیند اکسیداسیون فتوکاتالیستی، اکسیژن به سیستم وارد می‌شود [۷ و ۱۴].



شکل ۳- استفاده از رآکتور ممبران‌های فتوکاتالیستی متواالی: تابش فرابنفش به مخزن محلول حاوی فتوکاتالیست‌های معلق در آن [۱۴]



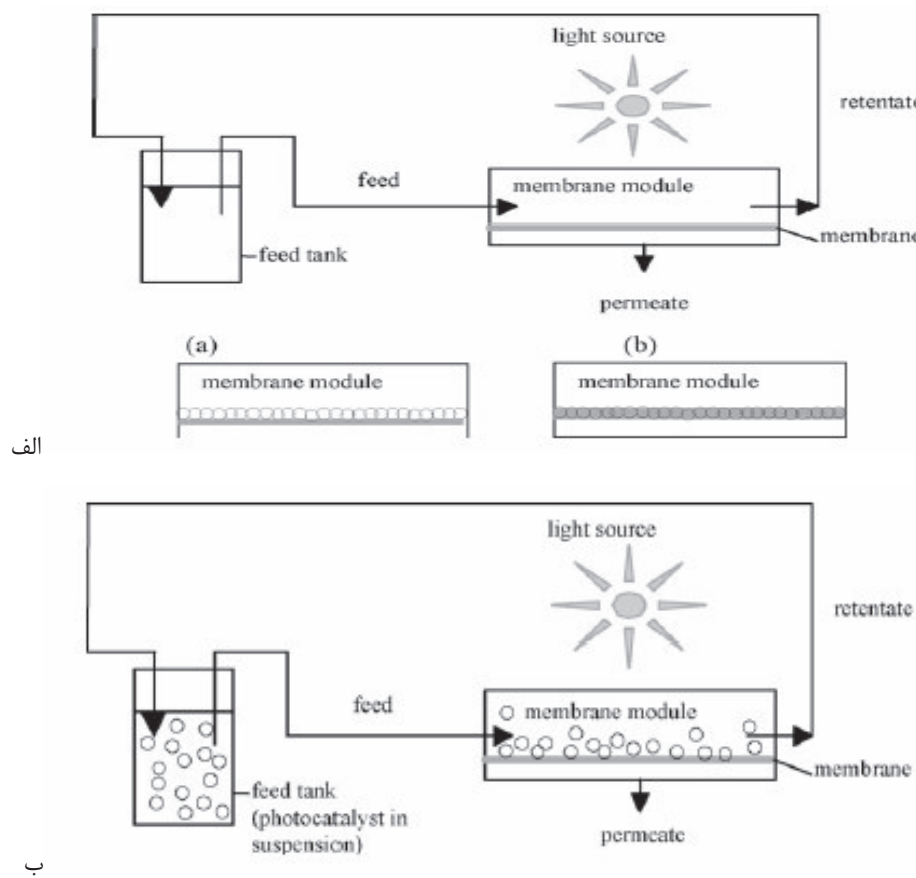
شکل ۴- نمایشی از رآکتور ممبران‌های فتوکاتالیستی متواالی: (۱) مخزن گردان (۲) واحد اختلاط (۳) ممبران (۴) منبع ذخیره مواد نفوذ کرده از ممبران (۵) پمپ (۶) منبع تغذیه (۷) ترمومترات (۸) مخزن اکسیژن (۹) لامپ UV (۱۰) جریان سنج (۱۱) فشار سنج [۷].

### ۲-۲-۳- رآکتور ممبران‌های فتوکاتالیستی مرکب

تفاوت اصلی رآکتور ممبران‌های فتوکاتالیستی مرکب با رآکتور ممبران‌های فتوکاتالیستی متواالی این است که در نوع مرکب، فرآیند تخریب فتوکاتالیستی و جداسازی ممبران در یک زمان و مکان انجام می‌گیرد. شکل ۵ و ۶ نمایش کلی از رآکتور ممبران‌های فتوکاتالیستی مرکب را نشان می‌دهند. محلولی که باید تصفیه گردد به فضای بین ممبران و منبع تابش فرابنفش تغذیه می‌شود و به طور همزمان تحت تابش

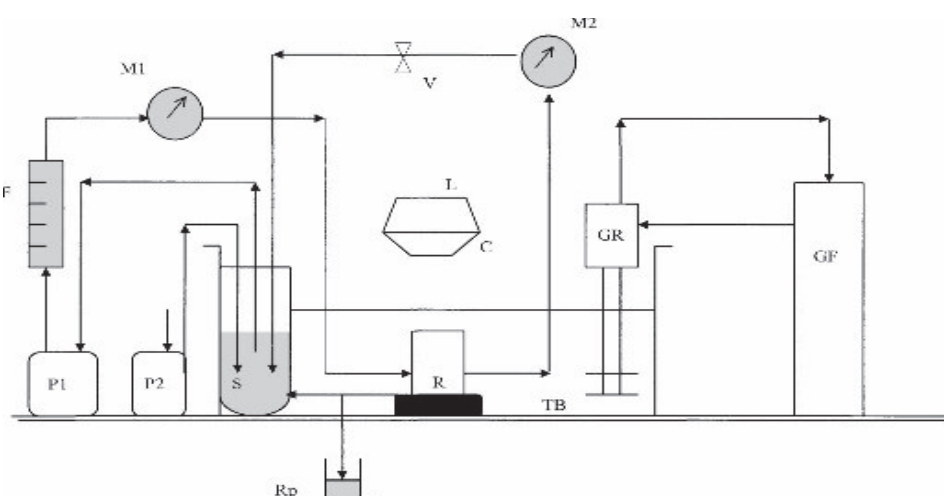


فرابنفش قرار می‌گیرد. مواد نفوذ کرده از ممبران در قسمت خارجی سیستم جمجمه‌ای و از رآکتور خارج می‌گردند. کاتالیستی که در این نوع رآکتور استفاده می‌شود یا به صورت ذراتی معلق است و یا بر سطحی متخلخل که معمولاً از سرامیک‌ها و یا پلیمرها ساخته می‌شود، ثابت و غیر متحرک می‌گردد [۱۴، ۷، ۲۱].



شکل ۵- الف: نمایش کلی از رآکتور ممبران‌های فوتوکاتالیستی مرکب: با استفاده از فوتوکاتالیست‌های ثابت و غیر متحرک (a) بر سطح ممبران و (b) در داخل ساختار ممبران [۱۴]

ب: نمایش کلی از رآکتور ممبران‌های فوتوکاتالیستی مرکب: با استفاده از ذرات فوتوکاتالیست معلق در محلول [۱۴]



شکل ۶- نمایش کلی از رآکتور ممبران‌های فوتوکاتالیستی مرکب: (F) جریان سنج؛ (M1 و M2) فشارسنج؛ (S) مخزن گردان؛ (P1) پمپ؛ (P2) پمپ یا سیلندر اکسیژن؛ (RP) مخزن مواد نفوذ کرده؛ (R) رآکتور ممبران فوتوکاتالیستی؛ (L) لامپ فرابنفش؛ (C) مخروط تمرکز اشعه؛ (V) دریچه کنترل فشار؛ (GR) گروه ترمومتری؛ (TB) حمام آب ترمومتریکی؛ (GF) گروه مبرد [۶]



### ۳-۲-۳- انواع ممبران‌های فتوکاتالیست

هنگامی که از ممبران‌های فتوکاتالیست استفاده می‌شود، باید ممبران تحت تابش نور فرابخش قرار گیرد؛ ترکیبات آلی موجود در محلول تغذیه شده تحت تابش نور فرابخش بر سطح و یا در داخل حفرات ممبران تجزیه می‌شوند و منبع نوری در سمت تغذیه قرار گرفته است. مواد نفوذ کرده از ممبران حاوی حلال، محصولات تجزیه، فراورده‌های جانبی تجزیه و یا آلاینده‌های تجزیه نشده است. ترکیب مواد نفوذ کرده به خواص فیزیکی-شیمیایی آلاینده‌ها، راندمان تجزیه آن‌ها و خواص جداسازی ممبران بستگی دارد. مهمترین مزیت این روش، کاهش رسوب گیری ممبران و افزایش فلاکس مواد نفوذ کننده است. در نتیجه، اگر از ممبران‌های پلیمری استفاده می‌شود، احتمال تخریب ممبران به وسیله نور فرابخش و یا رادیکال‌های آزاد وجود دارد؛ در حالی که، ممبران‌های سرامیکی و یا فلزی پایداری بیشتری دارند. در راکتور ممبران‌های فتوکاتالیستی که ممبران آن از لایه نشانی پوششی با خاصیت فتوکاتالیستی بر زیرپایه ساخته شده است، ممبران به عنوان جایگاهی برای انجام واکنش‌های فتوکاتالیستی و همچنین مانعی در برابر مولکول‌های موجود در مایع (ترکیبات اولیه، محصولات واکنش و فراورده‌های جانبی تجزیه آن‌ها) عمل می‌کند. وقتی از ممبرانی با خواص فتوکاتالیستی استفاده می‌شود، تجزیه نوری آلاینده‌ها بر سطح و یا در داخل حفرات ممبران صورت می‌گیرد؛ بنابراین، سیستم ممبران باید در برابر تابش نور قرار گیرد [۱۴ و ۲۹].

اغلب انواع عملی فتوکاتالیست‌های نیمه‌هادی به صورت فیلم هستند که محکم به یک زیرپایه خنثی مثل شیشه یا سرامیک متصل شده‌اند [۲۴]. مشخصه اصلی فلزهای اکسیدی نیمه‌هادی، نیروی اکسیداسیون قوی خفرات آن‌ها است. در نتیجه الکترون‌ها در یک واکنش احیا با اکسیژن مولکولی موجود در محیط واکنش داده و رادیکال‌های آنیون سوپراکسید تولید می‌کنند. خواص رسانایی الکتریکی مواد نیمه‌هادی حد واسط فلزات و عایق‌هاست. بر خلاف فلزات که حالت الکترونی پیوسته دارند، نیمه‌هادی‌ها دارای یک ناحیه خالی از انرژی هستند که در آن هیچ سطح انرژی وجود ندارد. به عبارت دیگر نیمه‌هادی‌ها از نظر انرژی دارای ساختار نواری هستند. نیمه‌هادی‌ها دارای نوار ممنوعه (شکاف نواری) باریکی بین نوار طرفیت پرشده و نوار هدایت هستند که تعیین‌کننده حساسیت آن‌ها به طول موج تابش است و فرآیندهای الکترونی و فوتوشیمیایی به دنبال تهییج شکاف نواری نیمه‌هادی رخ می‌دهند [۳۳].

مبران‌های فتوکاتالیستی از مواد و با روش‌های مختلف ساخته می‌شوند و معمولاً از همان فتوکاتالیست‌های معمول در فرآیندهای فتوکاتالیستی استفاده می‌شود که نیمه‌هادی‌های مختلفی از جمله اکسیدهای  $TiO_2$ ,  $Fe_2O_3$ ,  $V_2O_5$ ,  $CeO$ ,  $WO_3$ ,  $ZnO$ ,  $ZrO_2$ ,  $CdS$  و سولفیدهای  $Fe^{3+}$ ,  $SnO_2$ ,  $K_2La_2TiO_3$ ,  $Ti/RuO_2$ ,  $ZnO-ZnS$ ,  $BaTiO_3$ ,  $SrTiO_3$ ,  $V_2O_5-SiO_2$ ,  $Fe^{3+}, WO_3$  و غیره نیز ارائه شده است [۵، ۱۱، ۳۴، ۳۵].

### ۳-۳-۱- تیتانیا؛ اعجازی در میان مواد فتوکاتالیست

تیتانیا در میان نیمه‌هادی‌ها مزایایی چون پایداری فوتوشیمیایی زیاد، هزینه کم، غیر سمی بودن و امکان فعل شدن با نور خورشید را دارد. تیتانیا شاخص شکست و درجه شفافیت بالایی در محدوده طیف مرئی نور دارد. اگرچه  $TiO_2$  فقط حدود ۵٪ از نور خورشید را جذب می‌کند، اما بهترین نیمه‌هادی تحقیق شده در زمینه تبدیلات شیمیایی و ذخیره‌سازی انرژی خورشید است [۴ و ۳۳]. برخی خواص تیتانیا به تفکیک عبارتند از [۳۳]:

- ۱- نیمه‌هادی نیمه شفاف در منطقه نور مرئی
- ۲- قابلیت تولید ماده بسیار متخلخل با سطح مخصوص زیاد
- ۳- قیمت ارزان جهت تولیدات صنعتی
- ۴- خنثی از نظر شیمیایی
- ۵- غیرسمی و زیست ساز گار



**۳-۳-بررسی برخی پژوهش‌های صورت گرفته در زمینه ممبران‌های فتوکاتالیست** در ایران طی سال‌های اخیر تحقیقات بسیاری در خصوص سل‌ها، ذرات و پوشش‌های تیتانیایی و خواص فتوکاتالیستی آن‌ها [۵۱-۳۶] و همچنین، انواع غشاها و ممبران‌های مختلف پلیمری و سرامیکی [۶۷-۵۲] صورت گرفته است. اما پژوهش‌های محدودی در زمینه ممبران‌های سرامیکی تیتانیایی با خواص فتوکاتالیستی انجام شده است [۳۵-۶۸]. رآکتور ممبران‌های فتوکاتالیست دارای ممبران‌های فتوکاتالیست برای جداسازی ترکیبات آلی مختلف مانند سدیم دو دسیل بنزووات، مواد رنگی، فنول‌ها، کلروفنول‌ها، نیتروفنول‌ها، تری‌کلراتیلن و مواد دیگر از آب هستند [۲۶، ۱۴]. ممبران‌های فتوکاتالیست از مواد و بر اساس روش‌های مختلف قابل تولید است ولی از آنجا که در میان مواد مختلف تیتانیا از خاصیت فتوکاتالیستی بسیار ارزش‌های برخوردار است، در سال‌های اخیر کاربرد چشمگیری از این ماده در صنعت ممبران‌های فتوکاتالیست گزارش شده است. این موارد شامل ممبران‌های کامپوزیتی  $TiO_2/Al_2O_3$ ،  $TiO_2$  پوشش داده شده بر ممبران‌های پلیمری و فلزی و یا ممبران‌های پلیمری حاوی ذرات  $TiO_2$  به دام افتاده در ساختار ممبران در طول فرآیند ساخت ممبران است [۱۹]. جدول ۱، خلاصه‌ای از نتایج برخی پژوهش‌های انجام شده در زمینه ممبران‌های فتوکاتالیست تیتانیایی که در داخل و یا خارج از کشور انجام شده، نشان می‌دهد.

**جدول ۱-نتایج برخی پژوهش‌های انجام شده در زمینه ممبران‌های فتوکاتالیست**

نوع ممبران	نتایج تحقیق
لایه‌نشانی تیتانیا بر زیرپایه‌ای آلومینیایی با روش سل-ژل [۶۹، ۳۵ و ۶۸]	- عدم تخریب متیل با قرار گرفتن در برابر نور فرابنفش در بازه زمانی طولانی بدون حضور ممبران تیتانیایی - وابستگی خواص فتوکاتالیستی تیتانیا به ساختار فازی، اندازه کریستال و سطح ویژه تیتانیا
لایه‌نشانی تیتانیایی پلیمری دوبُشدۀ با نقره با بر زیرپایه‌ای از آلومینا پوشش-داده شده با سل کلوئیدی تیتانیا [۷۰]	- بهود چشمگیر ویژگی‌های ساختاری و خواص فتوکاتالیستی تیتانیا توسط نقره افزایش ۲۹٪ فعالیت فتوکاتالیستی ممبران تهیه شده نسبت به ممبران تیتانیایی دوبُنشده - افزایش راندمان جداسازی در ممبران دوبُشدۀ - عدم گرفتگی و افزایش طول عمر ممبران دوبُشدۀ
لایه‌نشانی سل کامپوزیتی تیتانیا-آلومینا بر کامپوزیتی در طی ۳ ساعت زیرپایه آلومینایی [۷۱]	- تخریب ۹۵٪ ملاکیت سبز تحت تابش نور فرابنفش توسط ممبران‌های (افروزن آلومینا به تیتانیا تا مقادیر خاص) بدون ایجاد تاثیر منفی بر فعالیت فتوکاتالیستی تیتانیا - بالارفتن دمای کاربرد ممبران
ساخت ممبران‌های نانو سیم (nanowire) از تیتانیا با استفاده از روش hydrothermal (humic acid)	- عملکرد بسیار خوب در جداسازی و تجزیه فتوکاتالیستی هیومیک اسید کاهش گرفتگی ممبران ناشی از حضور هیومیک اسید به علت همزمان بودن تجزیه فتوکاتالیستی و جداسازی ممبران [۲]
ساخت ممبران کامپوزیتی $TiO_2/Al_2O_3$ با روش سل-ژل کلوئیدی [۲۴]	- عملکرد رفتار جداسازی و خواص فتوکاتالیستی به طور همزمان افزایش راندمان رآکتور ممبرانی - راه حلی برای تصفیه آب و رفع مشکلات آلودگی آب
ساخت میکروکره‌های (microspheres) تیتانیا/آلومینا با روش سل-اسپری-کلسیناسیون [۷۲](sol-spray-calcination)	- افزایش زمینه‌های کاربرد سیستم ممبران/ فتوکاتالیست پتانسیل کاربرد برای تصفیه آب و فاضلاب



سنتر ممبران  $TiO_2$  و ممبران کامپوزیتی - تجزیه و تخریب متیل بلو (آبی) و کراتینین موجود در آب  
 $TiO_2-Al_2O_3$  از طریق لایه‌نشانی سل - نفوذپذیری بالا  
 تیتانیا بر زیر پایه آلومینا [۷۳]

#### ۴- نتیجه‌گیری

راه‌اندازی سیستمی که فرایند فتوکاتالیستی و جداسازی ممبرانی را به طور همزمان در یک مکان انجام می‌دهد، علاوه بر افزایش سرعت فرایند پالایش، منجر به کاهش فضای مورد نیاز سیستم‌های تصفیه می‌گردد. ممبران‌های فتوکاتالیست، تکنولوژی مناسب و زیست‌سازگار برای تصفیه محیط‌های مختلف است که می‌تواند زمان باقی‌ماندن آلاینده‌ها در راکتور ممبران‌های فتوکاتالیست را کنترل کند؛ در نتیجه، راندمان تجزیه فتوکاتالیستی افزایش یافته و امکان جداسازی کامل آلاینده‌ها از آب فراهم آمده و از گرفتگی ممبران جلوگیری می‌شود. در این راستا تحقیقات و پژوهش‌های زیادی بر روی مواد فتوکاتالیست و روش تولید ممبران‌ها انجام شده است. مطالعه بر پژوهش‌های صورت گرفته نشان می‌دهد در میان مواد فتوکاتالیست، تیتانیا و در بین روش‌های تولید، فرایند سل-ژل به عنوان بهترین انتخاب جهت تولید ممبران‌های فتوکاتالیست گزارش شده است. ارائه گزارش‌های موجود در این مقاله نیز دلیلی بر صحت این ادعاست. این پژوهش‌ها نشان می‌دهد تیتانیا به صورت جداگانه و یا در قالب مواد کامپوزیتی، ترکیب مناسبی برای ممبران‌های فتوکاتالیست بوده و به صورت پوشش بر سطح زیرپایه‌های مختلف علاوه بر ارائه خاصیت فتوکاتالیستی، زمینه جداسازی مواد مختلف را نیز فراهم می‌آورد.

به منظور ارائه اندیشه‌ای نوین در این حوزه و تبیین راه در زمینه ممبران‌های پیشرفته لازم است نگاهی مجدد به اهمیت این نوع ممبران‌ها داشت. با توجه به اهمیت موضوع ممبران‌های فتوکاتالیست، چشم‌انداز وسیع و روشی را می‌توان در آینده نزدیک در راستای بهبود خواص این ممبران‌ها پیش‌بینی نمود. مطالعه مواد مختلف با خاصیت فتوکاتالیستی، به کارگیری سایر تکنیک‌های تولیدی موجود، بهره‌گیری از مواد مختلف همچون سیلیکا و زیرکونیا جهت تولید ترکیبات کامپوزیتی، استفاده از انواع دوپینت‌های فلزی چون نقره و آهن و غیرفلزی مانند نیتروژن و کربن می‌تواند از جمله راه‌های بهبود خواص ممبران‌های فتوکاتالیست باشد. تنوع پژوهش‌های در حال انجام مرتبط با این موضوع در دنیا نیز نشان از اهمیت بیش از پیش بحث مبران‌های فتوکاتالیست و پتانسیل کاربردی آن دارد. گروه حاضر در این مقاله نیز در راستای بهبود خواص ممبران‌های فتوکاتالیست کامپوزیتی، پروژه‌های متنوعی را انجام داده و هم‌اکنون بحث ممبران‌های فتوکاتالیست کامپوزیتی از دیگر پژوهش‌های در حال انجام توسط یک گروه پژوهشی شامل نویسنده‌گان این مقاله است. این تحقیقات به تازگی در ایران آغاز شده که همین تیم تحقیقاتی در گروه سرامیک دانشگاه علم و صنعت ایران به آن مشغول هستند. مقاله حاضر می‌تواند به عنوان راه‌گشایی برای طرح اهمیت موضوع پژوهش برای دانشجویان و محققین داخل کشور باشد.

#### مراجع

۱. حسین سرپولکی، "سرامیک‌ها در هزاره جدید از دیدگاه پروفسور R. E. Newnham"، خبرنامه سرامیک ایران، فصل ۶۲ شماره ۲۰، تابستان ۸۲ دانشگاه علم و صنعت ایران.
2. Xiwang Zhang, Alan Jianhong Du, Peifung Lee, Darren Delai Sun, James O. Leckie, "TiO<sub>2</sub> nanowire membrane for concurrent filtration and photocatalytic oxidation of humic acid in water", Journal of Membrane Science 313 (2008) 44–51.
۳. علی عالم، حسین سرپولکی، حسین قصاعی، "نقش و اهمیت کاربرد ممبران‌ها در صنعت تصفیه آب"، فصلنامه سرامیک ایران، سال سوم، شماره ۸ و ۹، صفحه ۴۵-۳۵، زمستان ۸۵ و بهار ۸۶.
4. Y. S. Lin, "Microporous and dense inorganic membranes: current states and prospective",

- separation and purification technology, 25 (2001) 39-55.
5. M. Mulder, Basic principles of membrane technology, 1996.
  6. R. Molinari, M. Mungari, E. Drioli, A. Di Paola, V. Loddo, L. Palmisano, M. Schiavello, "Study on a photocatalytic membrane reactor for water purification", Catalysis Today, 55 (2000) 71-78.
  7. V. M. Kochkodan, E. A. Rolya, and V. V. Goncharuk, "Photocatalytic Membrane Reactors for Water Treatment from Organic Pollutants", Journal of Water Chemistry and Technology, 31(4) (2009) 227-237.
  8. Walter A. Zeltner, PhD Dean T. Tompkins, PhD, PE, "Shedding Light on Photocatalysis", American Society of Heating, Refrigerating and Air-Conditioning Engineers, Inc. ([www.ashrae.org](http://www.ashrae.org)), 2005, Volume 111, Part 2.
  9. Dmitry G. Shchukin, Rachel A. Caruso, Inorganic macroporous films from preformed nanoparticles and membrane templates: synthesis and investigation of photocatalytic and photoelectrochemical properties. J. Advanced functional materials 13 (2003) 789.
  10. CUI Peng, ZHAO Xianzhi, ZHOU Minjie, WANG Longde, "Photocatalysis-Membrane Separation Coupling Reactor and Its Application", Chinese journal of catalysis, 27(9) (2006) 752-754.
  11. WWW.BCC.com
  12. Kang Li, Ceramic Membranes for Separation and Reaction, John Wiley & Sons, 2007.
  13. Anne Julbe, David Farrusseng, Christian Guizard, "Porous ceramic membranes for catalytic reactors-overview and new ideas", Journal of Membrane Science 181 (2001) 3-20.
  14. Sylwia Mozia, "Separation and Purification Technology", Separation and Purification Technology 73 (2010) 71-91.
  15. Sylwia Mozia, Maria Tomaszevska, Antoni W. Morawski, "Photocatalytic membrane reactor (PMR) coupling photocatalysis and membrane distillation—Effectiveness of removal of three azo dyes from water", Catalysis Today 129 (2007) 3-8.
  16. Sylwia Mozia, Antoni W. Morawski, "Hybridization of photocatalysis and membrane distillation for purification of wastewater", Catalysis Today 118 (2006) 181-188.
  17. Raffaele Molinari, Cesare Grande, Enrico Drioli, Leonardo Palmisano, Mario Schiavello, "Photocatalytic membrane reactors for degradation of organic pollutants in water", Catalysis Today 67 (2001) 273-279.
  18. Raffaele Molinari, Leonardo Palmisano, Enrico Drioli, Mario Schiavello, "Studies on various reactor configurations for coupling photocatalysis and membrane processes in water purification", Journal of Membrane Science 206 (2002) 399-415.
  19. Meng Nan Chong, Bo Jin, Christopher W.K. Chow, Chris Saint, "Recent developments in photocatalytic water treatment technology: A review", water research 44 (2010) 2997-3027.
  20. Amy L. Linsebigler, Guangquan Lu, John T. Yates, "Photo catalysis on TiO<sub>2</sub> surfaces: principles, mechanisms and selected results", J. Chem. Rev. 95 (1995) 735.
  21. J. Ryu, W. Choi, K.-H. Choo, "A pilot-scale photocatalyst-membrane hybrid reactor: performance and characterization", Water Science & Technology, 2005, 51(6-7), 491-497, QIWA Publishing.
  22. B. Kalweit, "Photocatalysis: an analysis of its application and market potential", USA, 1998.
  23. Michael Birnie, Saffa Riffat, and Mark Gillott, "Photocatalytic reactors: design for effective air purification", International Journal of Low Carbon Technologies 1/1.
  24. Haimin Zhang, Xie Quan, Shuo Chen, Huimin Zhao, Yazhi Zhao, "Fabrication of photocatalytic membrane and evaluation its efficiency in removal of organic pollutants from water", Separation and Purification Technology 50 (2006) 147-155.
  25. Ignazio Renato Bellobono, Franca Morazzoni, and Paola Maria Tozzi, "Photocatalytic membrane modules for drinking water purification in domestic and community appliances", International Journal of Photoenergy 7 (2005) 109-113.
  26. Daniela Lisi, Self-cleaning Glass, 2001/2002.
  27. Sarah M. Mercer, Heterogeneous Photocatalysis, Ottawa, Canada, 2006.
  28. A. L. Linsebigler, G. Lu, J. T. Yates, "Photocatalysis on TiO<sub>2</sub> Surfaces: Principles, Mechanisms, and selected results", Chem. Rev 95 (1995) 735-758.
  29. Harvey Malloy, "Environmentally friendly", ceramic tile, Ceramic Industry; Sep. 1999, 149, 10, Business Module.
  30. Umar Ibrahim Gaya, Abdul Halim Abdulla, "Heterogeneous Photocatalytic degradation Of Organic Contaminants Over Titanium Dioxide: A Review Of Fundamentals, Progress and Problems", Journal of Photochemistry and Photobiology C: Photochemistry Reviews 9 (2008) 1-12.
  31. U. Cernigoj, U. L. Stangar, P. Trebse, U. O. Krasovec, S. Gross, "Preparation and photoelectric properties of ordered mesoporous titania thin films" Thin Solid Films 495 (2006) 327-332.
  32. Richard J.Higgins, Bruce A.Bishop, Robert L.Goldsmith, "A Photocatalytic Membrane Reactor for Enhanced Destruction of Chloro-organics In Aqueous Media", CeraMen Corporation.
  33. Titanium-Oxide Photocatalyst, Three Bond Technical News Issued, 2004. Mechanisms,



- and Selected Results", Chem. Rev 95 (1995) 735-758.
34. Sylwia Moziaa, Antoni W. Morawskia, Masahiro Toyodab, Michio Inagakic, "Application of anatase-phase TiO<sub>2</sub> for decomposition of azo dye in a photocatalytic membrane reactor", Desalination 241 (2009) 97-105.
35. Ali Alem, Hossein Sarpoolaky, Mehrdad Keshmiri, "Sol-gel preparation of titania multilayer membrane for photocatalytic applications", Ceramic international 35(5) (2009) 1837-1843.
۳۶. عالیه افضل القوم، تاثیر عملیات حرارتی بر خاصیت فتوکاتالیستی تیتانیای مزوپوروس منظم، پایان نامه کارشناسی، دانشگاه علم و صنعت ایران، دانشکده مهندسی مواد و متالورژی، ۱۳۸۸.
۳۷. محمد مظلوم، تاثیر شرایط سنتز و افزودنی‌ها بر خواص فتوکاتالیستی تیتانیای نانوساختار، پایان نامه کارشناسی ارشد، دانشگاه علم و صنعت ایران، دانشکده مهندسی مواد و متالورژی، ۱۳۸۸.
38. Mahshid Pourmand, Nima Taghavinia, "TiO<sub>2</sub> nanostructured films on mica using liquid phase deposition", Materials Chemistry and Physics 107 (2008) 449-455.
39. Houman Yaghoubi, Nima Taghavinia, Eskandar Keshavarz Alamdar, "Self cleaning TiO<sub>2</sub> coating on polycarbonate: Surface treatment, photocatalytic and nanomechanical properties", Surface & Coatings Technology 204 (2010) 1562-1568.
40. E. Ghadiri, P. Rohani, N. Taghavinia, M. R. Aghabozorg, A. Irajizad, "Self-standing hybrid hydroxyapatite/TiO<sub>2</sub> nanofibers for photocatalytic applications", Submitted to Appl. Catal. B.
41. R. Mohammadpour, A. Iraji-zad, M. M. Ahadian, N. Taghavinia, A. Dolati, "Comparison of various anodization and annealing conditions of titanium dioxide nanotubular film on MB degradation", Euro. Phys. J. In press.
42. S. Shadmehr, S. M. Mahdavi, N. Taghavinia, A. Azarian, "Growth of TiO<sub>2</sub> nanoparticles by pulsed laser ablation (PLA) in liquid media and study of photocatalytic properties", Int. J. Modern Phys. B 22 (2008) 3193-3200.
43. M. Kh. Aminian, N. Taghavinia, A. Iraji zad, S. M. Mahdavi and M. Chavoshi, "Synthesis of Titania Nanofibers for Photocatalytic Applications", Synthesis and Reactivity in Inorganic, Metal-Organic, and Nano-Metal Chemistry 37 (2007) 457-460.
44. S. N. Hosseini, S. M. Borghei, M. Vossoughi and N. Taghavinia, "Immobilization of TiO<sub>2</sub> on perlite granules for photocatalytic degradation of phenol", Appl. Catal. B. 73 (2007) 327-336.
45. M. Khajeh Aminian, N. Taghavinia, A. Irajizad, S. M. Mahdavi, "Adsorption of TiO<sub>2</sub> nanoparticles on glass fibers", J. Phys. Chem. C. 194 (2007) 9794-9798.
۴۶. مژگان چاوشی و نیما تقی، ساخت نانو ذرات TiO<sub>2</sub> جهت پوشش‌های خود تمیز شونده، مجموعه مقالات اولین کنفرانس فناوری نانو منطقه جنوب، ۲۰-۱۸ بهمن ۱۳۸۵، شیراز.
۴۷. محسن خواجه امینیان، نیما تقی نیا، اعظم ایرجی زاد، سید محمد مهدوی، ساخت نانورشتہ های TiO<sub>2</sub> با ساختار فرکتالی برای کاربردهای فتوکاتالیستی، مجموعه مقالات کنفرانس سالانه فیزیک، ۱۳۸۵، شاهروド، صفحات ۵۶-۵۴.
۴۸. مهشید پورمند، مژگان چاوشی، نیما تقی نیا، "ساخت و مشخصه‌یابی لایه‌های نازک در اکسید تیتانیوم"، مجموعه مقالات هفتمین سمینار مهندسی سطح و عملیات حرارتی، ۱۳۸۵، اصفهان، صفحات ۷۰۳-۷۰۸.
۴۹. محسن خواجه امینیان، نیما تقی نیا، اعظم ایرجی زاد، سید محمد مهدوی، "ثبت نانو ذرات TiO<sub>2</sub> بر روی الیاف شیشه‌ای جهت خواص فتوکاتالیستی"، مجموعه مقالات هفتمین سمینار مهندسی سطح و عملیات حرارتی، ۱۳۸۵، اصفهان، صفحات ۱۰۱۱-۱۰۱۹.
۵۰. مژگان چاوشی، نیما تقی نیا، "لایه‌شانی نانو ذرات TiO<sub>2</sub> به روش الکتروفورسیس و بررسی خاصیت فتوکاتالیستی آن"، مجموعه مقالات هفتمین سمینار مهندسی سطح و عملیات حرارتی، ۱۳۸۵، اصفهان، صفحات ۱۰۲۱-۱۰۲۸.
۵۱. رقیه قاسم پور، نیما تقی نیا، اعظم ایرجی زاد و سید محمد مهدوی، "ساخت و بررسی لایه‌های TiO<sub>2</sub> به روش سل-زل"، مجموعه مقالات کنفرانس فیزیک، ۱۳۸۳، تهران، صفحات ۳۷۲-۳۷۴.
52. Ehsan Saljoughi, Mohtada Sadrzadeh, Toraj Mohammadi, "Effect of preparation variables on morphology and pure water permeation flux through asymmetric cellulose acetate membranes", Journal of Membrane Science 326 (2009) 627-634.
53. Morteza Asghari, Toraj Mohammadi, Armin Samimi and Majid Fouladi, "Ion-exchanged zeolite X membranes: synthesis and characterization, Membrane Technology (2008) 9-11.

54. Mansoor Kazemimoghadam, Toraj Mohammadi, "Separation of water/UDMH mixtures using hydroxysodalite zeolite membranes", *Desalination* 181 (2005) 1-7.
55. Mansoor Kazemimoghadam, Toraj Mohammadi, "Preparation of NaA zeolite membranes for separation of water/UDMH mixtures", *Separation and Purification Technology* 47 (2006) 173-178.
56. Toraj Mohammadi, Afshin Pak, Mehrdad Karbassian, Masoud Golshan, "Effect of operating conditions on microfiltration of an oil-water emulsion by a kaolin membrane", *Desalination* 168 (2004) 201-205.
57. Mansoor Kazemimoghadam, Toraj Mohammadi, "Chemical cleaning of ultrafiltration membranes in the milk industry", *Desalination* 204 (2007) 213-218.
58. Mansoor Kazemimoghadam, Afshin Pak, Toraj Mohammadi, "Dehydration of water/1-1 dimethylhydrazine mixtures by zeolite membranes", *Microporous and Mesoporous Materials* 70 (2004) 127-134.
59. Toraj Mohammadi, "Chemical cleaning of a polyamide membrane", *Desalination* 139 (2001) 381.
60. Mansoor Kazemimoghadam, Toraj Mohammadi, "Synthesis of MFI zeolite membranes for water desalination", *Desalination* 206 (2007) 547-553.
61. Toraj Mohammadi, Afshin Pak, "Making zeolite A membrane from kaolin by electrophoresis", *Microporous and Mesoporous Materials* 56 (2002) 81-88.
62. Toraj Mohammadi, Ehsan Saljoughi, "Effect of production conditions on morphology and permeability of asymmetric cellulose acetate membranes", *Desalination* 243 (2009) 1-7.
63. Mohammad Ali Alaei, Toraj Mohammadi, "Preparation and characterization of  $Ba_xSr_{1-x}Co_{0.8}Fe_{0.2}O_3-\delta$  perovskite type membrane", *Membrane Technology* (2009) 7-11.
64. Elham Gorouhi, Mohtada Sadrzadeh, Toraj Mohammadi, "Microfiltration of oily wastewater using PP hydrophobic membrane", *Desalination* 200 (2006) 319-321.
65. M. Asghari, T. Mohammadi, R. F. Alamdar, F. Agend, "Thin-layer template-free polycrystalline mordenite membranes on cylindrical mullite supports", *Microporous and Mesoporous Materials* 114 (2008) 148-154.
66. A. A. Jalali, F. Mohammadi, S. N. Ashrafizadeh, "Effects of Process Conditions on Cell Voltage, Current Efficiency and Voltage Balance of a Chlor-Alkali Membrane Cell", *Desalination* (2009)
67. S. N. **Ashrafizadeh**, Z. Khorasani, "Amonia removal from aqueous solutions using hollow-fiber membrane contactors", *Chemical Engineering Journal*, Volume 162, Issue 1, 1 August 2010, Pages 242-249.

۶۸. علی عالم، بررسی و ساخت مembrان‌های تیتانیایی نانوساختار، پایان‌نامه کارشناسی ارشد، دانشگاه علم و صنعت ایران، دانشکده مهندسی مواد و متالورژی، ۱۳۸۶.

69. Ali Alem, Hossein Sarpoolaky, Mehrdad Keshmiri, "Titania ultrafiltration membrane: preparation, characterization and photocatalytic activity". *J. European ceramic society* 29 (2009) 629- 635.
70. Ali Alem, Hossein Sarpoolaky, The effect of silver doping on photocatalytic properties of titania multilayer membranes, *Solid State Sciences* 12 (2010) 1469-1472.
71. علی اکبر حبیب‌پناه، ساخت و بررسی خواص مembrان‌های کامپوزیتی نانوساختار تیتانیا-آلومینا، پایان‌نامه کارشناسی ارشد، دانشگاه علم و صنعت ایران، دانشکده مهندسی مواد و متالورژی، ۱۳۸۸.
72. Shiping Xu, Xiwang Zhang, Jiawei Ng and Darren Delai Sun, "Preparation and application of  $TiO_2/Al_2O_3$  microspherical photocatalyst for water treatment", *water science and technology; water supply* 2009.
73. Hyeok Choi a, Elias Stathatos b, Dionysios D. Dionysio, "Sol-gel preparation of mesoporous photocatalytic  $TiO_2$  films and  $TiO_2/Al_2O_3$  composite membranes for environmental applications", *Applied Catalysis B: Environmental* 63 (2006) 60-67.



# مرواری بر اثر فعال‌سازی مکانیکی و افزودنی در تشکیل مولایت در دو دهه گذشته

آرزو سیف‌الهزاده، تورج عبادزاده، مسعود علیزاده

پژوهشکده سرامیک، پژوهشگاه مواد و انرژی

seifolahzadeh@yahoo.com

**چکیده:** مولایت به عنوان یکی از سرامیک‌های ساختاری و الکترونیکی بسیار مورد استفاده قرار می‌گیرد. کاربرد گسترده آن به استحکام مکانیکی خوب، شوک پذیری حرارتی و مقاومت خرسنی عالی، هدایت حرارتی کم و پایداری حرارتی در دماهای بالا نسبت داده می‌شود. همچنین ساختار مولایت به گونه‌ای است که در صورتیکه رشد دانه‌های مولایت بدون محدودیت رخ دهد، آنها به صورت آنیزوتrop رشد می‌کنند. از روش‌های معمول تولید این گونه دانه‌ها سنتز بخار- جامد و فرآوری درجا است؛ که به علت معاایب این روش‌ها پژوهشگران تلاش نموده‌اند تا با فعال‌سازی مکانیکی مخلوط پودرهای اولیه، تشکیل مولایت را بهبود بخشند. افزودنی‌های اکسیدی نیز دمای تشکیل مولایت را از مخلوط مواد اولیه کاهش می‌دهند. لذا در این مطالعه تلاش می‌شود تا با بررسی اثر فعال‌سازی مکانیکی و افزودنی‌ها به مواد اولیه تشکیل دهنده مولایت، بهبود خواص مولایت ذکر گردد.

**کلمات کلیدی:** فعال‌سازی مکانیکی، مولایت، افزودنی، رشد دانه.

## ۱- مرواری بر منابع مطالعاتی

مولایت یک فاز سرامیکی مهم است که علاوه بر استفاده در سرامیک‌های سنتی به صورت ظروف رومیزی، سرامیک‌های ساختاری و دیرگذارها، در مواد پیش‌رفته دما بالا، جایگاکننده‌های حرارت، فیلترها، ابزار اپتیکی و غیره نیز استفاده می‌شود. همچنین کامپوزیت‌های مولایتی دارای پتانسیل بالایی برای استفاده در موتور توربین‌های گازی ثابت و هوایپماها هستند [۱].

مولایت و کامپوزیت‌های زمینه مولایتی به علت داشتن خواص مکانیکی عالی در دمای بالا، مقاومت شیمیایی خوب، ضریب انبساط حرارتی و ثابت دی الکتریک پایین، مقاومت خزشی بالا و غیره بسیار مورد توجه می‌باشدند [۲]. در بسیاری از موارد از کائولن به عنوان یک ماده کلیدی برای سنتز سرامیک‌های مولایتی استفاده شده است. تشکیل مولایت از کائولن مستلزم گذراندن یکسری واکنش می‌باشد. در فرآیند گرمایش و در دماهای پایین، کائولن آب پیوند فیزیکی خود را ازدست می‌دهد؛ در دماهای بالاتر به متاکائولن آمورف تجزیه شده و در نهایت به مولایت تبدیل می‌شود [۳,۴].

مولایت با فرمول  $3\text{Al}_2\text{O}_3 \cdot 2\text{SiO}_2$  دارای ساختار کربستالی منحصر به فردی است که در آن زنجیره‌هایی با پیوند قوی در امتداد محور  $c$  کربیستالوگرافی قرار دارند؛ بنابراین دانه‌های آن امکان رشد آنیزوتrop در یک محیط بدون محدودیت را دارند. درنتیجه الیاف مولایت می‌توانند به راحتی از سنتز بخار- جامد یا فلاکس نمک مذاب تولید شوند. اما تولید با این روش‌ها مقرن به صرفه نمی‌باشد؛ زیرا سنتز بخار- جامد نیازمند امکاناتی برای ایجاد خلاء است که هزینه‌بر بوده و از سوی دیگر واکنشی که شامل فازهای گازی باشد، فرآیند را پیچیده می‌کند. سرامیک‌های مولایتی مقاوم همچنین می‌توانند با روش فرآوری درجا تولید شوند. رشد دانه آنیزوتrop درجا معمولاً در دماهای بسیار بالا اتفاق می‌افتد. سرامیک‌های مولایتی ساخته شده به این روش دارای چرمگی مطلوبی نیستند. چرمگی شکست کم این سرامیک‌ها به علت رشد بیش از حد دانه، در زمان رشد آنیزوتrop می‌باشد. بنابراین توسعه روش‌هایی برای تولید الیاف مولایت در دماهای نسبتاً

پایین دارای اهمیت زیادی است [۲،۵-۹].

اخيراً kong و همکارانش [۱۰] ثابت کرده‌اند که الیاف مولايت می‌توانند به سرعت و در دماهای نسبتاً پایین در مخلوطی از  $\text{Al}_2\text{O}_3$  و  $\text{SiO}_2$  که با فرآيند آسياب پرانرژي فعال شده‌اند (آلیاژسازی مکانيکي)، ايجاد شوند؛ چگالی ابزار خردایش، نوع مواد اوليه و زمان آسياب در اندازه الیاف و دماي تبديل به مولايت بسيار مؤثر است.

پژوهشگران [۱۱-۱۳] تشکيل مولايت در زيترا و اكنشي جفت آلومينا و کوارتز را با مکانيزم انحلال-رسوب اين گونه توضيح دادند. ابتدا در دماي خاصی يك فاز مایع غني از  $\text{SiO}_2$  تشکيل و سپس  $\text{Al}_2\text{O}_3$  در فاز مایع حل می‌شود؛ با رسیدن غلظت  $\text{Al}_2\text{O}_3$  به مقدار بحرانی، جوانعنى مولايت رخ می‌دهد. بر طبق ديارگرام فاز  $\text{Al}_2\text{O}_3-\text{SiO}_2$ - $\text{Al}$  فاز مایع در ترکيب غني از  $\text{SiO}_2$  در دماي بالاي دماي يوتکتิก ( $1590 \pm 10^\circ\text{C}$ ) تشکيل می‌شود. ولی به علت کاهش بسيار زياد اندازه ذرات مواد اوليه در مخلوطهای اكسيدی که با آسياب پر انرژي آسياب می‌شوند، فاز مایع در دماهای پايان تر تشکيل شده و سرعت انحلال  $\text{Al}_2\text{O}_3$  در فاز مایع بيشتر می‌شود (سرعت انحلال  $\text{Al}_2\text{O}_3$  وابسته به ويسکوزитеه فاز مایع و اندازه ذرات  $\text{Al}_2\text{O}_3$  است) که اين دو عامل باعث کاهش دماي مولايتى شدن می‌شوند. علاوه بر آسياب پرانرژي، افروزنی‌های اكسيدی نيز ويسکوزитеه شيشه را کاهش داده و تحرك اجزا نفوذکننده را بيشتر می‌کنند.

با توجه به اينکه آسياب پرانرژي مواد اوليه اثر بسزياري روی دماي تشکيل فاز مولايت و ابعاد دانه‌های مولايت داشته و اينکه افروزنی‌های اكسيدی دماي تشکيل فاز مولايت را از مخلوط  $\text{Al}_2\text{O}_3$  و  $\text{SiO}_2$  و  $\text{Al}$  کاهش می‌دهند [۱۴، ۱۵]، در اين گزارش چگونگي بهبود خواص مولايت در اثر آسياب پرانرژي و افروزنی بررسی شد؛ به عبارتی کاهش دماي تشکيل و دانه‌بندی مواد اوليه اكسيدی تشکيل‌دهنده مولايت به همراه افروزنی‌های  $\text{TiO}_3$ ,  $\text{CuO}$ ,  $\text{B}_2\text{O}_3$ ,  $\text{WO}_3$  و اكسيدهای واسطه که فعال‌سازی مکانيکي شدن، بررسی شد.

## ۱-۱-۱- فعال‌سازی مکانيکي

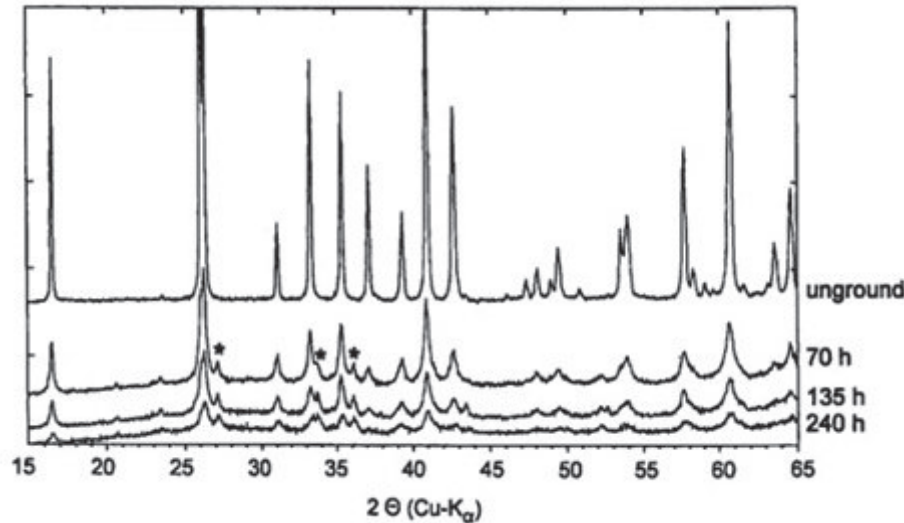
فعال‌سازی مکانيکي يك روش آسياب پرانرژي است که در آن از انواع مختلفي آسياب استفاده می‌شود. طی اين فرآيند مخلوطی از پودرهای مختلف تحت نيروهای فشاری بسيار قوي قرار گرفته و امكان ايجاد آلیاژها با شکست و جوش سرد مکرر ذرات پودري که معمولاً قابل مخلوط شدن هستند، وجود دارد.

اين روش معمولاً برای تولید پودرهای فلزی ترکيبي با ريزساختار کنترل شده و ريز و همچنین آلیاژهاي که توليد آنها به روش‌های ذوب و ریخته گري معمول، سخت و يا غير ممکن است، بكار می‌رود. همچنین به دليل سادگي اين روش در توليد مواد نانوبولوري در دماي اتاق، اخيراً برای سنتز مواد سراميكى نيز از آن استفاده شده است [۱۶، ۱۷].

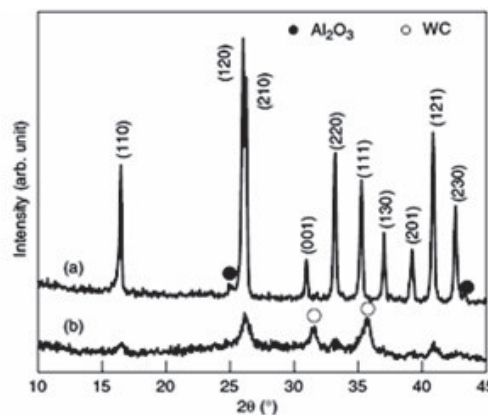
### ۱-۱-۱-۱- فعال‌سازی مکانيکي مولايت

مطالعات زيادي در مورد فعال‌سازی مکانيکي مولايت انجام شده است. Schmücker و همکارانش [۱۸] پودر فيوز مولايت را به عنوان ماده اوليه کريستالي در زمان‌های ۷۰، ۱۳۵ و ۲۴۰ ساعت با محفظه و گلوله‌های از جنس نيترييد سيليكون با نسبت گلوله به پودر ۱:۱ در محيط ايزوپروپيل الكل آسياب پرانرژي کردن. در شكل ۱ الگوهای اشعه X پودرهای آسياب شده در زمان‌های مختلف آورده شده است که علاوه بر کاهش اندازه ذرات، يك فرآيند آمورفي شدن را نيز نشان می‌دهد.

در تحقيق ديگري [۲] پودر مولايت تجاري با محفظه و گلوله‌های کاربيد تنگستن با نسبت گلوله به پودر ۴٪ به مدت ۱۰ ساعت، با سرعت rpm ۲۰۰ آسياب سيارهای شد. بعد از آسياب، پيك‌های پراش شدیداً کوتاه و پهن شدند که علت آن ريزشدن و يا حتى آمورفي شدن ذرات مولايت در اثر آسياب پر انرژي بيان شد (شکل ۲).



شکل ۱- الگوهای اشعه X مولایت آسیاب نشده و مولایت آسیاب شده در زمان های ۷۰، ۱۳۵ و ۲۴۰ ساعت [۱۸].



شکل ۲- الگوهای پراش اشعه X پودر مولایت (a) قبل و (b) بعد از ۱۰ ساعت آسیاب پر انرژی [۲].

نتایج نشان می دهند که چگالی بیشتر ابزار آسیاب و نیز بالاتر بودن نسبت گلوله به پودر، اثر قابل ملاحظه ای در رسیدن به نتایج مشابه در زمان های بسیار کمتر آسیاب دارد [۲، ۱۸].

### ۱-۱-۱- اثر فعال سازی مکانیکی در تشکیل مولایت

پژوهشگران نشان داده اند که می توان بسادگی الیاف مولایت را از فعال سازی مکانیکی مخلوط  $\text{Al}_2\text{O}_3$  و  $\text{SiO}_2$  تهیه کرد. ایجاد این الیاف به علت واکنش پذیری بالای اجزای اکسیدی بوده که در اثر آسیاب پر انرژی بدست می آید [۱۰]. همچنین به دلیل ساختار آنیزوتrop مولایت، دانه های آن تمایل دارند در همان زمانی که مولایت در محیط بدون محدودیت (قبل از تراکم) تشکیل می شود، به صورت آنیزوتrop رشد کنند در صورتیکه در واکنش های حالت جامد معمولی تراکم قبل از تشکیل مولایت انجام شده و امکان رشد دانه ها به صورت آنیزوتrop وجود ندارد. به علت ایجاد اینگونه دانه ها بدندهای مولایتی تشکیل شده با این روش دارای چگالی بسیار کمی (۷۰٪ چگالی تئوری) هستند [۱۱، ۱۲].

### ۱-۱-۳- ایجاد مولایت کامپوزیت ساختاری با آسیاب پر انرژی

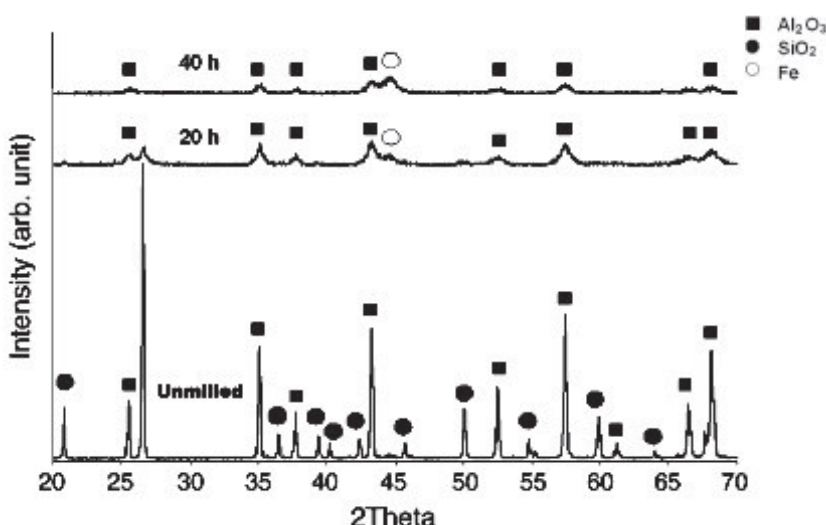
باتوجه به اینکه سرامیک های مولایتی با دانه های هم محور دارای چقمرگی شکست نسبتاً کم هستند، در کاربردهای عملی از سرامیک های مولایتی مقاوم که با افزودن الیاف مولایت به زمینه مولایت تک محوری ایجاد می شوند، استفاده می شود. ورود این الیاف فرآیند را پیچیده کرده و برای جلوگیری از شکست آنها، مراقبت و کنترل زیادی باید صورت گیرد. روش دیگر تولید سرامیک های مولایتی مقاوم، رشد دانه آنیزوتrop

دراجه می‌باشد که در مقایسه با روش قبل بسیار ساده‌تر است ولی به علت دمای بسیار زیاد برای القا رشد دانه آنیزوتروب به زمینه مولايت تک محوری، رشد غیر عادی دانه مولايت صورت گرفته و چقرمگی شکست مطوب بdst نمی‌آید.

Kong و همکارانش [۱۹] سرامیک‌های مولايتی با ساختارهای آنیزوتروب درجا که شامل مولايت با دانه‌های معمولی و الیاف مولايت بود، را تولید کردند. آنها برای این کار مواد اولیه اکسیدی آسیاب شده و مواد اولیه آسیاب نشده را با نسبت‌های وزنی  $۲۵/۷۵$ ،  $۵/۷۵$  و  $۵/۷۵$  مخلوط کردند. پودرهای آسیاب‌نشده منبعی برای دانه‌های مولايت هم محور هستند درحالیکه پودرهای آسیاب‌شده منجر به ایجاد دانه‌های مولايت آنیزوتروب می‌شوند. رفتار خوب مولايتی شدن با مکانیزم جوانه‌زنی توجیه می‌شود؛ کریستالهای مولايت تشکیل شده از پودر آسیاب شده در دمای پایین به عنوان جوانه عمل کرده و دمای مولايتی شدن پودر آسیاب‌نشده را کاهش می‌دهند. با افزایش نسبت پودر آسیاب‌شده به پودر آسیاب نشده، مولايتی شدن در دمای پایین‌تری اتفاق می‌افتد.

#### ۱-۴- تشکیل مولايت نانوساختار در اثر فعال‌سازی مکانیکی

بهمنش و همکارانش [۱۲] مولايت با ساختار نانو را از پخت مواد اولیه اکسیدی ( $\text{Al}_2\text{O}_3$  و  $\text{SiO}_2$ ) که در زمان‌های ۲۰ و ۴۰ ساعت با نسبت گلوله به پودر  $۱/۳$  و با سرعت چرخش  $۳۰۰\text{ rpm}$  آسیاب پرانرژی شدند، بدست آوردند. درالگوی اشعه X پودرهای آسیاب‌شده (شکل ۳)  $\text{SiO}_2$  دیده نمی‌شود که علت آن ساختار آمورف  $\text{SiO}_2$  است. با افزایش زمان آسیاب، پیک‌های  $\text{Al}_2\text{O}_3$  در مقایسه با این پیک‌ها در نمونه آسیاب‌نشده به طور قابل توجهی پنهان شدن که بیان کننده کاهش اندازه کریستالیت‌ها به ابعاد نانومتری و تجمع میکروکرنش‌ها در شبکه است. الگوهای اشعه X نمونه‌های پخته شده در  $۱۴۵^{\circ}\text{C}$  فاز غالب مولايت را در نمونه‌ها نشان می‌دهند.



شکل ۳- الگوهای اشعه X نمونه‌های آسیاب‌شده در آسیاب سیارهای [۱۲].

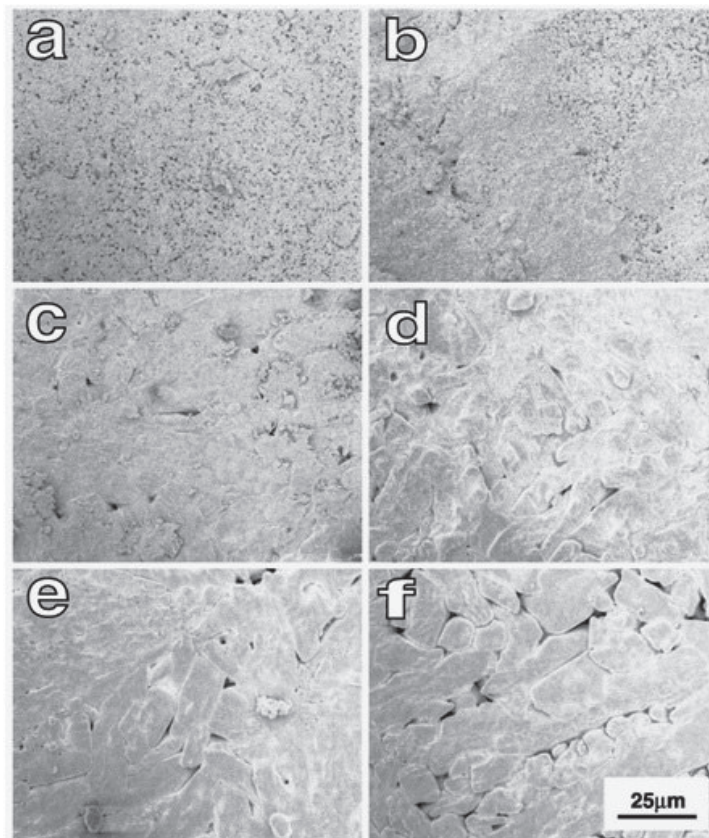
#### ۱-۲- فعال‌سازی مکانیکی مخلوط اکسیدهای اولیه تشکیل دهنده مولايت و $\text{CuO}$

در تحقیقی که توسط Kong و همکارانش [۲۰] صورت گرفت، اکسیدهای اولیه  $\text{Al}_2\text{O}_3$  و  $\text{SiO}_2$  با  $۲\%$  وزنی  $\text{CuO}$  به مدت ۵ ساعت با محفظه و گلوله‌های فولاد ضد زنگ و کاربید تنگستن با نسبت گلوله به پودر  $۱/۱$  آسیاب پرانرژی شدند. سپس نمونه‌ها به شکل قرص پرس شده و در دماهای بین  $۱۰۰۰-۱۵۰۰^{\circ}\text{C}$  پخته شدند.

نتایج نشان می‌دهند که در کلیه نمونه‌های آسیاب شده، تشکیل مولايت در دمای  $۱۲۰۰^{\circ}\text{C}$  کامل می‌شود

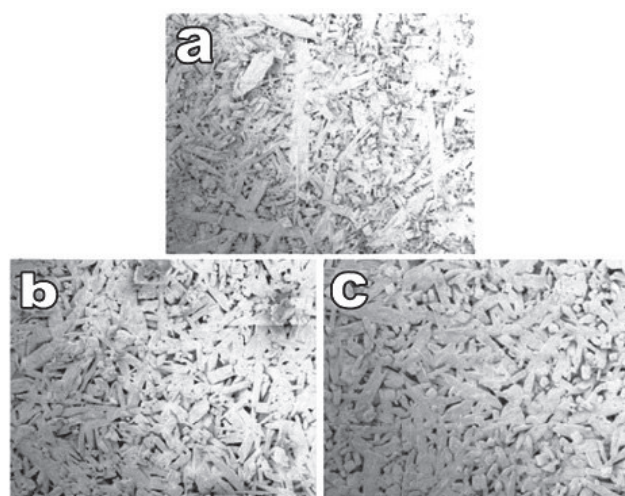


که این دما بسیار کمتر از دمایی است که برای همان نمونه‌ها و بدون آسیاب پرانرژی لازم می‌باشد. در تصاویر SEM مربوط به پودرهای آسیاب شده با فولاد ضد زنگ و پخته شده در دماهای مختلف، تا دمای  $1300^{\circ}\text{C}$  رشد دانه آنیزوتروپ دیده نمی‌شود. با افزایش دمای پخت، هم ابعاد و هم آنیزوتروپی دانه‌ها بیشتر می‌شود (شکل ۴).



شکل ۴- تصاویر SEM نمونه‌های آسیاب شده با فولاد ضد زنگ و پخته شده در دمای [۲۰] .  
 (a)  $1000^{\circ}\text{C}$  (b)  $1100^{\circ}\text{C}$  (c)  $1200^{\circ}\text{C}$  (d)  $1300^{\circ}\text{C}$  (e)  $1400^{\circ}\text{C}$  (f)  $1500^{\circ}\text{C}$

برخلاف نمونه‌های آسیاب شده با فولاد ضد زنگ، الیاف مولایت در پودرهای آسیاب شده با کاربید تنگستن (شکل ۵) تشکیل شده و در  $1200^{\circ}\text{C}$  همه دانه‌ها تبدیل به الیاف می‌شوند اما با بالارفتن دمای پخت ابعاد این الیاف ثابت می‌ماند [۲۰].

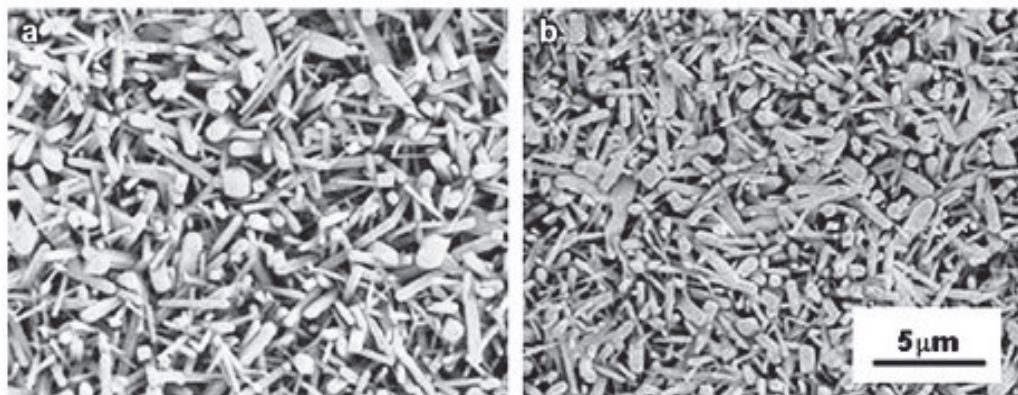


شکل ۵- تصاویر SEM نمونه‌های آسیاب شده با کاربید تنگستن و پخته شده در دماهای [۲۰] .  
 (a)  $1100^{\circ}\text{C}$  (b)  $1200^{\circ}\text{C}$  (c)  $1300^{\circ}\text{C}$

### ۱-۳-فعال سازی مکانیکی مخلوط اکسیدهای اولیه تشکیل دهنده مولايت و $B_2O_3$

باتوجه به اینکه ساز کار تشکیل فاز مولايت با واکنش انحلال-رسوب کنترل می شود و در بین اکسیدهای مختلف مؤثر ترین اکسید  $B_2O_3$  می باشد، در پژوهشی [۲۱] اکسیدهای اولیه و مقادیر مختلفی  $B_2O_3$  (تا ۲۰٪  $B_2O_3$ ) به مدت ۴ ساعت با محفظه ها و گلوله های فولاد ضد زنگ و کاربید تنگستن با نسبت گلوله به پودر به ترتیب ۱٪ و ۴٪، آسیاب پرانرژی شده و به صورت قرص هایی تهیه و در دماهای بین ۱۵۰۰-۱۰۰۰ °C پخته شدند. نتایج نشان می دهند که دمای تشکیل مولايت در مخلوط پودرهای اولیه و  $B_2O_3$  بدون آسیاب پرانرژی کمتر از این دما برای مخلوط مواد اولیه بدون  $B_2O_3$  و بدون آسیاب پرانرژی است که به نقطه ذوب پایین  $B_2O_3$  و کمک به تشکیل فاز مایع غنی از  $SiO_2$  و  $Al_2O_3$  در  $SiO_2$ - $Al_2O_3$  نسبت داده می شود. دمای تشکیل مولايت در مخلوط آسیاب شده با کاربید تنگستن کمتر از این دما در مخلوط آسیاب شده با فولاد ضد زنگ است. مقادیر بالای  $B_2O_3$  باعث ایجاد الیاف کوچکتر با توزیع اندازه یکنواخت تر می شود (شکل ۶).

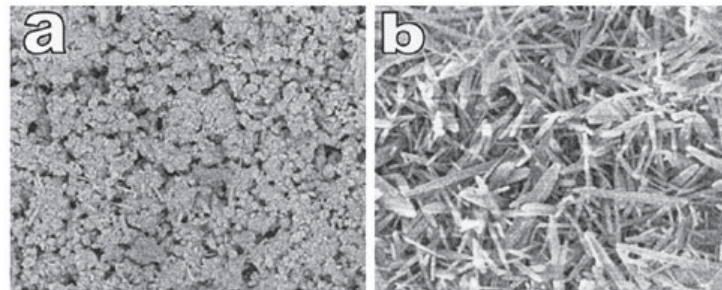
برخلاف ترکیبات آسیاب شده با فولاد ضد زنگ، در پودرهای آسیاب شده با کاربید تنگستن و پخته شده در دماهای مختلف، الیاف مولايت با شکل های منظم تشکیل شده و با افزایش دمای پخت ابعاد الیاف زیاد می شود.



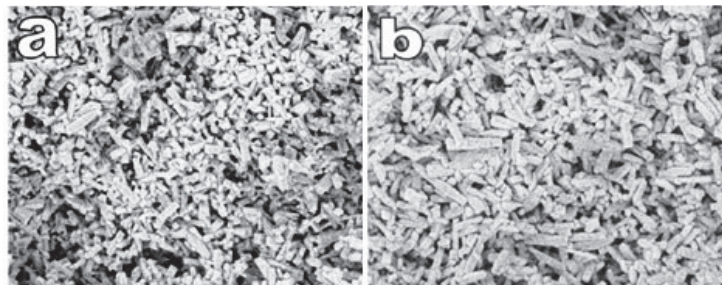
شکل ۶- تصویر SEM نمونه آسیاب شده با کاربید تنگستن و پخته شده در ۱۴۰۰ °C با (a) ۵٪ (b) ۲۰٪  $B_2O_3$  مولی [۲۱].

### ۱-۴-فعال سازی مکانیکی مخلوط اکسیدهای اولیه تشکیل دهنده مولايت و $WO_3$

در پژوهش صورت گرفته [۱۱] نشان داده شد که فعال سازی مکانیکی مخلوط اکسیدهای اولیه و  $WO_3$  (تا ۲۰٪ مولی) با آسیاب سیارهای به مدت ۵ ساعت، در محفظه و گلوله هایی از جنس کاربید تنگستن و با نسبت گلوله به پودر ۱٪ اثر بسزایی بر دمای تشکیل مولايت و نیز مورفولوژی دانه های مولايت دارد. در نمونه های با مقادیر مختلف  $WO_3$ ، مولايتی شدن در دمای ۱۱۰۰ °C کامل شده و دانه های مولايت از ابتدا به صورت الیاف منظم و با ویژگی های تک کریستال ظاهر می شوند. همانطور که در بخش مقدمه به آن اشاره شد، افزودن اکسیدهایی مانند  $WO_3$  می تواند باعث کاهش ویسکوزیته فاز مایع شده که کاهش ویسکوزیته فاز مایع به تشکیل مولايت کمک می کند. تصور می شود که  $WO_3$  به عنوان مراکز هتروژن جوانه زنی عمل کرده و باعث ایجاد جوانه مولايت در دمای پایین تر می شود. افزودن مقدار بیشتر  $WO_3$ ، موجب بیشتر شدن مراکز جوانه زنی و کاهش دمای تشکیل مولايت می شود. علت کوتاه شدن اندازه الیاف در مقادیر زیاد  $WO_3$ ، تعداد زیاد مراکز جوانه زنی است (شکل های ۷ و ۸).



شکل ۷- تصویر SEM نمونه دارای ۵٪ مولی  $\text{WO}_3$  پخته شده در دمای: (a)  $1100^\circ\text{C}$  (b)  $1000^\circ\text{C}$  [۱۱]

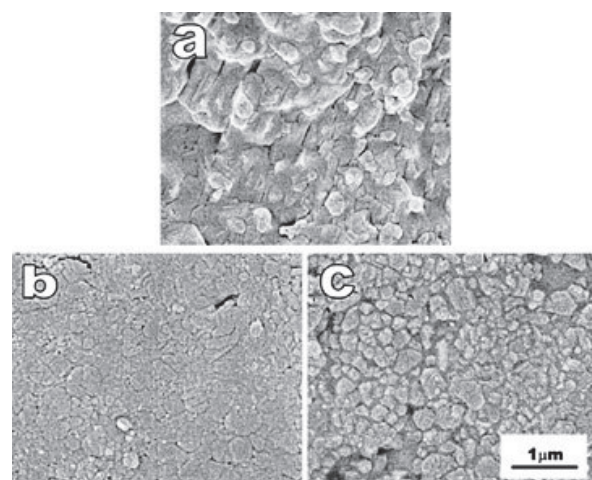


شکل ۸- تصویر SEM نمونه دارای ۲۰٪ مولی  $\text{WO}_3$  پخته شده در دمای: (a)  $1000^\circ\text{C}$  (b)  $1100^\circ\text{C}$  [۱۱]

## ۱-۵- فعالسازی مکانیکی مخلوط اکسیدهای اولیه تشکیل دهنده مولاپت و اکسید فلزات واسطه

در پژوهش دیگری که توسط Kong و همکارانش [۱۳] صورت گرفت، اکسیدهای اولیه ( $\text{Al}_2\text{O}_3$  و  $\text{SiO}_2$ ) به صورت جداگانه با مقادیر یکسان  $\text{Fe}_2\text{O}_3$ ,  $\text{CoO}$  و  $\text{NiO}$  به مدت ۵ ساعت با محافظه و گلوله‌های فولاد ضدزنگ با نسبت گلوله به پودر  $1/20$  آسیاب پرانرژی شدند. نمونه‌ها به شکل قرص‌هایی تهیه شده و در دماهای بین  $1000^\circ\text{C}$ - $1400^\circ\text{C}$  پخته شدند. الگوهای پراش اشعه X نشان داد که آسیاب پرانرژی این اکسیدها با مخلوط مواد اولیه اثر مشابهی در تشکیل مولاپت دارند و در هر سه مورد، دمای تشکیل مولاپت  $1200^\circ\text{C}$  گزارش شد که کمتر از آن دما در فرآیند حالت جامد معمولی است. تصاویر SEM نمونه‌های دارای افزودنی و آسیاب شده که در دماهای مختلف پخته شدند، نشان می‌دهند که در بالای دمای  $1200^\circ\text{C}$  و همزمان با تشکیل مولاپت، دانه‌ها به صورت آنیزوتrop پ رشد می‌کنند؛ درصورتیکه در زیر این دما دانه‌ها هم محور هستند. حداقل چگالی این بدندها قبل از تشکیل فاز مولاپت است.

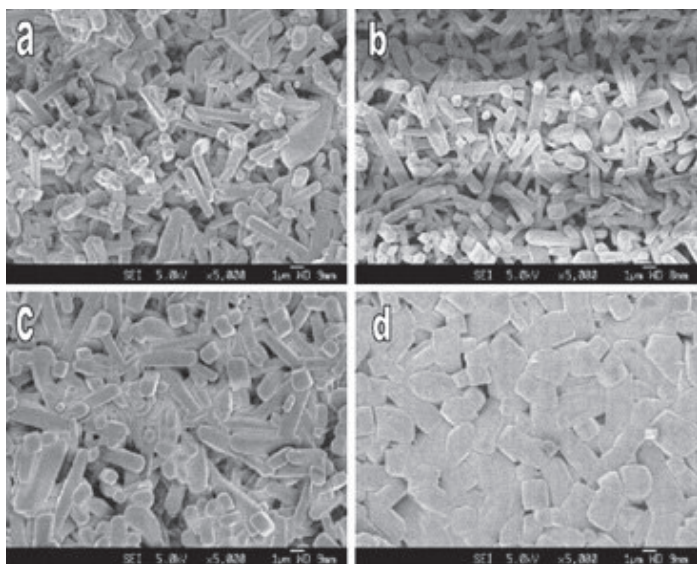
تصاویر SEM نمونه‌های دارای افزودنی، که آسیاب پرانرژی نشدهند (شکل ۹)، نشان می‌دهند که علت رشد دانه آنیزوتrop، افزودن اکسیدهای فلزی نیست؛ بلکه آسیاب پرانرژی باعث ایجاد این گونه دانه‌ها شده است [۱۳].



شکل ۹- تصاویر SEM مخلوط‌های آسیاب نشده و پخته شده در  $1400^\circ\text{C}$ : (a)  $\text{Fe}_2\text{O}_3$  (b)  $\text{CoO}$  (c)  $\text{NiO}$  [۱۳]

## ۱-۶-فعال سازی مکانیکی مخلوط اکسیدهای اولیه تشکیل دهنده مولایت و $TiO_2$

محققین [۵] اکسیدهای اولیه  $Al_2O_3$  و  $SiO_2$  با ۱۰ درصد وزنی  $TiO_2$  به مدت ۵ ساعت در آسیاب سیارهای، با محفظه و گلوله‌های کاربید تنگستن و با نسبت گلوله به پودر ۱/۴ آسیاب پرانرژی کردند و پودرهای بدست آمده را به شکل قرص پرس کرده و در دماهای بین ۱۱۰۰-۱۵۰۰ °C حرارت دادند. با توجه به الگوهای پراش اشعه  $\lambda$  افزودن ۱ درصد وزنی  $TiO_2$  بیشترین تأثیر را بر تشکیل مولایت دارد؛ که به نظر می‌رسد با افزودن مقدار بیشتر  $TiO_2$ ، از ترکیب  $Al_2O_3$  و  $SiO_2$  برای تشکیل مولایت جلوگیری شود. همچنین چگالی نمونه‌ها با افزایش غلظت  $TiO_2$  بیشتر می‌شود. تصاویر SEM نمونه‌های دارای مقادیر مختلف  $TiO_2$  پخته شده در ۱۵۰۰ °C در شکل ۱۰ آورده شده است. نمونه بدون افزودنی دارای دانه‌های سوزنی بوده و با افزودن ۱ درصد وزنی  $TiO_2$  ابعاد دانه‌ها بیشتر می‌شود. دانه‌ها در نمونه با ۳ درصد وزنی  $TiO_2$  نامنظم بوده و ابعاد آنها بیشتر می‌باشد.



شکل ۱۰- تصاویر SEM نمونه‌های بدست آمده از پودرهای آسیاب شده پخته شده در ۱۵۰۰ °C به مدت ۵ ساعت: (a) بدون  $TiO_2$  (b) دارای ۱ درصد وزنی  $TiO_2$  (c) دارای ۳ درصد وزنی  $TiO_2$  (d) دارای ۵ درصد وزنی  $TiO_2$  [۵].

## ۲-نتیجه‌گیری

باتوجه به مطالعات مختلف، الیاف‌های مولایت می‌توانند از مخلوط ترکیبات اکسیدی با آسیاب پرانرژی بدست آیند. آسیاب مواد اولیه به صورت قابل توجهی دمای تشکیل مولایت را کاهش می‌دهد. ابزار آسیاب با چگالی بالا (مانند کاربید تنگستن) برای ایجاد الیافی با کیفیت بالا ضروری است. آسیاب پرانرژی مخلوط اکسیدهای اولیه و  $CuO$  باعث کاهش دمای تشکیل مولایت می‌شود. افزودن  $B_2O_3$  به ترکیبات اکسیدی اولیه و آسیاب پرانرژی آنها باعث بهبود رفتار مولایتی شدن مخلوط  $Al_2O_3$  و  $SiO_2$  می‌شود. فعال سازی مکانیکی مخلوط اکسیدهای اولیه و  $WO_3$  به تشکیل فاز مولایت کمک کرده و با افزایش مقدار افزودنی دمای تشکیل مولایت کاهش می‌یابد ولی اندازه الیاف کم می‌شود. افزودن اکسیدهای فلزی  $Co$ ،  $Ni$  و  $Fe$  به همراه آسیاب پرانرژی، موجب تشکیل سرامیک مولایتی متراکم با ریزساختار آنیزوتروپ می‌شود. واکنش  $Al_2O_3$  و  $SiO_2$  با افزودن مقادیر مناسب  $TiO_2$  و فعال سازی مخلوط، بیشتر شده و رشد دانه آنیزوتروپ در این ترکیب مشاهده شد.

## مراجع

- P. M. Souto, R. R. Menezes, R. H. G. A. Kiminami, "Sintering of Commercial Mulite Powder: Effect of MgO Dopant", J. Mater. Process. Technol. 209, pp 548-553 (2009).



2. L. B. Kong, T. S. Zhang, J. Ma, F. Y. C. Boey, "Anisotropic Grain Growth in Mullite Powders as a Result of High-energy Ball Milling", *J. Am. Ceram. Soc.* 90, pp 4058-4055 (2007).
3. T. Ebadzadeh, "Effect of Mechanical Activation and Microwave Heating on Synthesis and Sintering of Nano-Structured Mullite", *J. Alloy Compos.* 489, pp 125-129 (2010).
4. H. Schneider, J. Schreuer, B. Hildmann, "Structure and Properties of Mullite—A Review", *J. Eur. Ceram. Soc.* 28, pp 329-344 (2008).
5. T. S. Zhang, L. B. Kong, Z. H. Du, J. Mac, S. Li, "Tailoring the Microstructure of Mechanoactivated Al<sub>2</sub>O<sub>3</sub> and SiO<sub>2</sub> Mixtures with TiO<sub>2</sub> Addition", *J. Alloys Compds.* 506, pp 777-783 (2010).
6. S. H. Hong, W. Cermignani, G. L. Messing, "Anisotropic Grain Growth in Seeded and B<sub>2</sub>O<sub>3</sub>-Doped Diphasic Mullite Gels", *J. Eur. Ceram. Soc.* 16, pp 133-141 (1996).
7. W. Yoon, P. Sarin, W. M. Kriven, "Growth of Textured Mullite Fibers Using a Quadrupole Lamp Furnace", *J. Eur. Ceram. Soc.* 28, pp 455-463 (2008).
8. I. Regiani, W. L. E. Magalhães, D. P. F. de Souza, C. O. Paiva-Santos, M.F. de Souza, "Nucleation and Growth of Mullite Whiskers from Lanthanum- Doped Aluminosilicate Melts", *J. Am. Ceram. Soc.* 85, pp 232-238 (2002).
9. M. D. Sacks, N. Bozkurt, G. W. Scheiffele, "Fabrication of Mullite- Matrix Composites by Transient Viscous Sintering of Composite Powders", *J. Am. Ceram. Soc.* 74, pp 2428-2437 (1991).
10. L. B. Kong, J. Ma, H. Huang, "Mullite Whiskers Derived from Oxide Mixture Activated by A Mechanochemical Process", *Adv. Eng. Mater.* 4, pp 490-494 (2002).
11. L. B. Kong, H. Huang, T. S. Zhang, J. Mab, F. Boey, R. F. Zhang, Z. H. Wang, "Growth of Mullite Whiskers in Mechanochemically Activated Oxides Doped with WO<sub>3</sub>", *J. Eur. Ceram. Soc.* 23, pp 2257-2264 (2003).
12. N. Behmanesh, S. Heshmati-Manesh, A. Ataei, "Role of Mechanical Activation of Precursors in Solid State Processing of Nano-Structured Mullite Phase", *J. Alloys Compds.* 450, pp 421-425 (2008).
13. L. B. Kong, T. S. Zhang, J. Mab, F. Boey, "Anisotropic Grain Growth of Mullite in High-Energy Ball Milled Powders Doped with Transition Metal Oxides", *J. Eur. Ceram. Soc.* 23, pp 2247-2256 (2003).
14. C. Baudin, M. I. Osendi, J. S. Moya, "Solid Solution of TiO<sub>2</sub> in Mullite", *J. Mater. Sci. Lett.* 2, pp 185-187 (1983).
15. S. H. Hong, G. L. Messing, "Mullite Transformation Kinetics in P<sub>2</sub>O<sub>5</sub>-, TiO<sub>2</sub>-, and B<sub>2</sub>O<sub>3</sub>-Dopped Aluminosilicate Gels", *J. Am. Ceram. Soc.* 80, pp 1551-1559 (1997).
16. P. S. Gilman, J. S. Benjamin, "Mechanical Alloying", *Annual Review of Materials Science*, 13, pp. 279-300, (1983).
17. Duygu A<sup>ğ</sup>ao<sup>ğ</sup>ulları, Hasan Gökc<sup>e</sup>, Ismail Duman, M. LütfiÖvec, o<sup>ğ</sup>lu, "Characterization Investigations of ZrB<sub>2</sub>/ZrC Ceramic Powders Synthesized by Mechanical Alloying of Elemental Zr, B and C Blends", *J. Eur. Ceram. Soc.* xxx, pp xxx–xxx (2011).
18. M. Schmücker, H. Schneider, K. J. D. MacKenzie, "Mechanical Amorphization of Mullite and Thermal Recrystallization", *J. Non-Cryst. Solids.* 226, pp 99-104 (1998).
19. L. B. Kong, T. S. Zhang, Y. Z. Chenb, J. Mab, F. Boey, H. Huang, "Microstructural Composite Mullite Derived from Oxides via a High-Energy Ball Milling Process", *Ceram. Int.* 30, pp 1313-1317 (2004).
20. L. B. Kong, J. Ma, H. Huang, T. S. Zhang, F. Boey, "Anisotropic Mullitization in CuO-Doped Oxide Mixture Activated by High-Energy Ball Milling", *Mater. Lett.* 57, pp 3660-3666 (2003).
21. L. B. Kong , T. S. Zhang, J. Mac, F. Y. C. Boey, "Mullitization Behavior and Microstructural Development of B<sub>2</sub>O<sub>3</sub>–Al<sub>2</sub>O<sub>3</sub>–SiO<sub>2</sub> Mixtures Activated by High-Energy Ball Milling", *Solid State Sciences.* 11, pp 133-1342 (2009).



# بررسی خواص اپتیکی شیشه‌سرامیک‌های شفاف سیستم لیتیوم آلومنیوسیلیکات

محمد صادق شاکری<sup>۱</sup>، محمد رضوانی<sup>۲</sup>

<sup>۱</sup> پژوهشگاه مواد و انرژی، <sup>۲</sup> دانشگاه تبریز

ms.shakeri88@ms.tabrizu.ac.ir

**چکیده:** شیشه‌سرامیک‌ها که از تبلور کنترل شده شیشه پایه بدست می‌آیند، خواص شیشه‌ها و سرامیک‌ها را به طور همزمان دارا هستند و بهمین دلیل امروزه کاربردهای بسیاری در زمینه‌های مختلف فن‌آوری پیدا کرده‌اند. در صورتی که شرایط تبلور به گونه‌ای کنترل شود که بلورهای نانومتری مناسب در زمینه‌ی شیشه‌ای متبلور شوند، شفافیت در شیشه‌سرامیک این‌ها می‌شود. قطعات شیشه‌سرامیکی شفاف رفتاری مشابه رفتار تک بلورها دارند در حالی که روش تولید آن‌ها بسیار ساده‌تر و ارزان‌قیمت‌تر می‌باشد. تبلور بلورهای نانومتری فازهای محلول جامد  $\beta$ -کوارتز،  $\beta$ -ایوکریپتیت و  $\beta$ -اسپودومن باعث می‌شود که شیشه‌سرامیک‌های شفاف لیتیوم آلومنیوسیلیکات قابل استفاده در سیستم‌های اپتیکی تولید شوند. همچنین حضور ناخالصی‌های فلزات واسطه و عنصر نادر خاکی باعث می‌شود تا ترازهای الکترونیکی به گونه‌ای تغییر یابند تا ویژگی‌های اپتیکی تحت تاثیر قرار گیرند. در این تحقیق سعی شده است تا علاوه بر بررسی رفتار تبلور فازهای مذکور به صورت نانومتری در زمینه شیشه لیتیوم آلومنیوسیلیکات، تاثیر افزودنی‌های مختلف بر خواص اپتیکی از جمله جذب و نشر بحث شود.

**کلمات کلیدی:** شیشه‌سرامیک شفاف، شیشه‌سرامیک لیتیوم آلومنیوسیلیکات، خواص اپتیکی، اسپکتروسکوپی.

## ۱- مقدمه

شیشه‌سرامیک‌ها مواد پیشرفته مهندسی هستند که امروزه در بسیاری از زمینه‌های حساس و مهم صنعتی، نظامی و پزشکی کاربردهای بسیاری یافته‌اند. در این زمینه می‌توان به شیشه‌سرامیک‌های لیتیوم آلومنیوسیلیکات<sup>۱</sup> اشاره کرد که به دلیل داشتن ضریب انبساط حرارتی پایین و همچنین دارا بودن شفافیت مناسب با درصد عبور نور بالا به عنوان شیشه‌سرامیک‌های اپتیکی دقیق معرفی می‌شوند. این نوع شیشه‌سرامیک‌ها در کاربردهایی نظری لیزرهای حالت جامد، فیبرهای نوری، شیشه‌های تلسکوپ و انواع دیگر مواد اپتیکی دقیق کاربرد دارند.

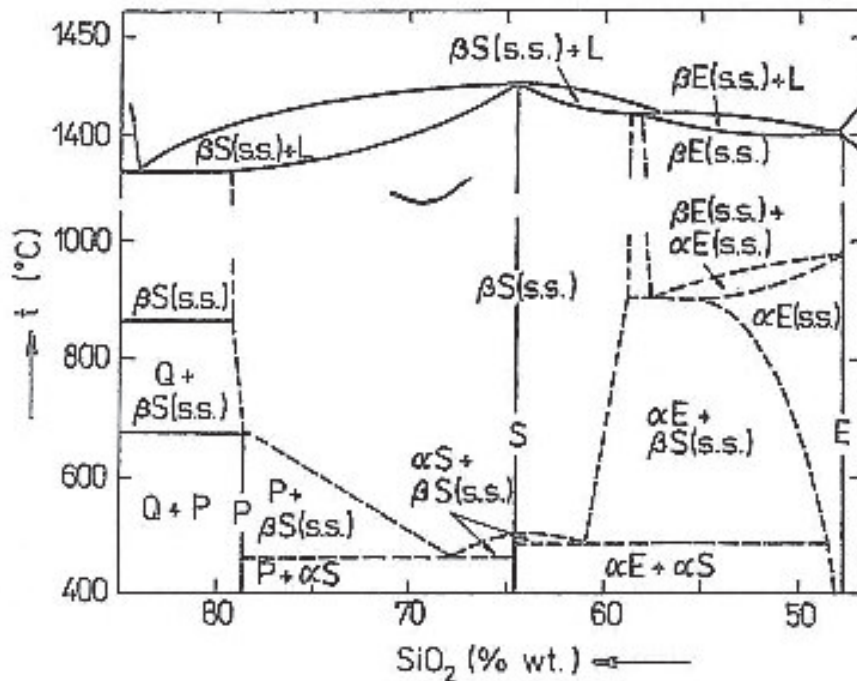
اپتیک و علوم مشابه آن نظری فتونیک، الکترواپتیک و نانواپتیک جزء علوم به روز و پیشرفته به حساب می‌آیند که پایه پیشرفت‌های آتی بشریت را می‌سازند. استفاده از نور به جای الکترون برای انتقال اطلاعات به دلیل سرعت نسبی بیشتر و نیاز نداشتن به محیط مادی از عوامل تأثیر گذار در کاربرد مواد نوری در صنایع مختلف در سال‌های اخیر می‌باشد.

شیشه‌سرامیک‌ها که جزیی از مواد پیشرفته مهندسی هستند و خواص اپتیکی که جزء خواص پیشرفته مواد هستند، ما را بر آن داشت تا اطلاعات مربوط به یکی از انواع مهم و مناسب شیشه‌سرامیک‌های اپتیکی را ارائه دهیم. در پایان این مقاله و در بخش ۵ تلاش شده است تا نقاط ابهام تحقیقات گذشته و زمینه‌هایی که در آنها نیاز به تحقیقات کاملتر احساس می‌شود، بیان شود. امید است که این مقاله راهگشای پیشرفت‌های مفید و تأثیرگذار در پیشبرد هر چه بیشتر علم باشد [۱-۴].

<sup>۱</sup> Li<sub>2</sub>O- Al<sub>2</sub>O<sub>3</sub>- SiO<sub>2</sub>(LAS)

## ۲- بررسی فازی سیستم LAS

شکل(۱) نمودار فازی سیستم  $\text{SiO}_2\text{-Al}_2\text{O}_3\text{-SiO}_2\text{-Li}_2\text{O}$  را نشان می‌دهد. در این نمودار P نشان‌دهنده فاز پتالایت ( $\text{LiAlSi}_4\text{O}_{10}$ ), S، فاز اسپودومن ( $\text{LiAlSi}_2\text{O}_6$ ), E، فاز ایوکریبتایت ( $\text{LiAlSiO}_4$ ), Q، کوارتز ( $\text{SiO}_2$ ), L فاز مذاب و s.s. نشان‌دهنده فاز محلول جامد می‌باشند. با استناد به این نمودار فازی مشخص است که در دماهای بالا انواع دما پایین-α-ایوکریبتایت و -α-اسپودومن به صورت برگشت‌ناپذیر به انواع دمابالای نوع  $\beta$  تبدیل می‌شوند. همچنین با افزایش میزان سیلیس فاز پتالایت به وجود می‌آید. در نواحی غیر استوکیومتریک محلول جامد بین فازی از سه فاز ذکر شده و کوارتز تشکیل می‌شود. ترکیب شیمیایی فاز محلول جامد فراپایدار- $\beta$ -کوارتز بین  $\text{SiO}_2$  و ایوکریبتایت قرار گرفته است. این فاز هنگام تبلور شیشه‌پایه در محدوده تقریبی  $800^{\circ}\text{C}$  تا  $900^{\circ}\text{C}$  رسوب می‌کند. ساختار محلول جامد فراپایدار- $\beta$ -کوارتز متشکل از چهار وجهی‌های  $\text{SiO}_4$  است که در آن بخشی از یون‌های  $\text{Si}^{4+}$  توسط یون‌های  $\text{Al}^{3+}$  جایگزین شده و برای حفظ خنشابی الکتریکی، یون‌های  $\text{Li}^{+}$  در حفره‌های چهار وجهی و هشت وجهی قرار می‌گیرند. گاهی به جای  $\text{Li}^{+}$  یون‌های  $\text{Mg}^{+}$  و  $\text{Zn}^{+}$  در جاهای خالی ساختار قرار می‌گیرند. این جانشینی به علت افزایش حرکات یونی سبب پایین آمدن دمای ذوب ساختار می‌شود، به همین دلیل در ساخت قطعات مهندسی افزودن مقداری جزیی از اکسیدهای روی و منیزیم تا هنگامی که فازهای جدید در ساختار تولید نشوند، امری مفید و معمول است. سازوکار تشکیل فازهای محلول جامد- $\beta$ -کوارتز، - $\beta$ -ایوکریبتیت و - $\beta$ -اسپودومن حین تبلور شیشه‌ها، تحت تاثیر جدایش فازی فراپایدار صورت می‌گیرد. شایان ذکر است که به علت اختلاف پایین ضربی شکست بین فازهای ذکر شده و شیشه‌پایه، پراکنش داخلی نور بسیار جزیی است و شیشه‌سرامیک‌های تولیدی در صورت داشتن بلورهای نانومتری (کوچکتر از طول موج نور مرئی) شفاف می‌باشند [۵].

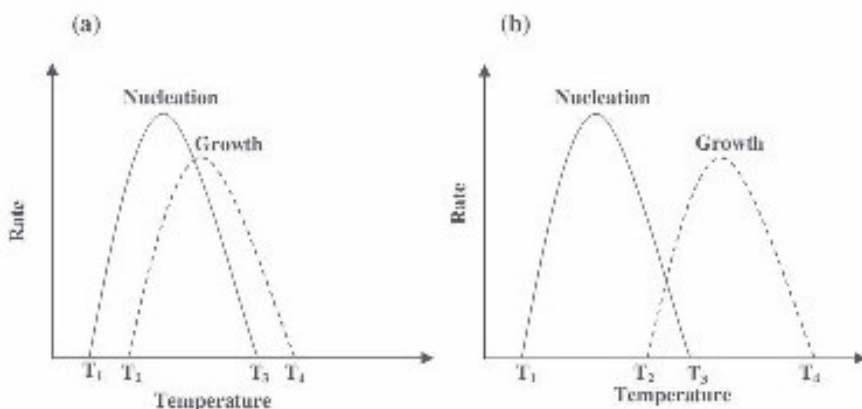


[۵] نمودار فازی سیستم  $\text{SiO}_2\text{-Al}_2\text{O}_3\text{-SiO}_2\text{-Li}_2\text{O}$

## ۳- تبلور کنترلی

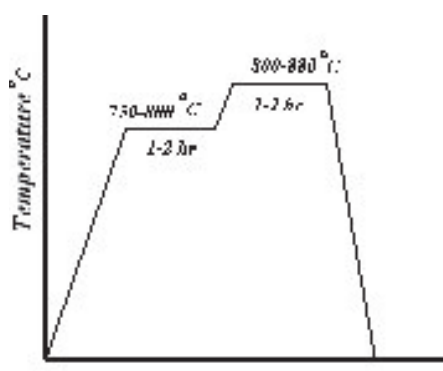
پس از تولید شیشه‌پایه یا در فرآیند تولید، عملیات حرارتی تبلور به منظور جدایش فازی و تولید بلور صورت می‌گیرد. شرایط عملیات حرارتی برای تولید بلورهای نانومتری مستلزم جوانهزنی مناسب و رشد کنترل شده

می باشد. شکل (۲) اختلاف بین دماهای جوانهزنی و رشد را در حالت های قابل کنترل و غیر قابل کنترل نشان می دهد.



شکل ۲- دماهای جوانهزنی و رشد بلور. (a) غیرقابل کنترل (b) قابل کنترل [۷]

ناکاگاوا و همکارش [۷] فرآیند یک مرحله‌ای که در دماهای  $750\text{--}840^{\circ}\text{C}$  انجام داده و ثوابت شبکه فازهای تولیدی را محاسبه کردند. به دلیل نداشتن کنترل مناسب و تولید جوانه‌های نسبتاً کم و رشد افراطی آنها، شیشه‌سرامیک شفافیت خود را از دست داد. در تحقیقات بعدی محققین دیگر روش دو مرحله‌ای که شامل جوانهزنی در دمای پایین و رشد جوانه‌ها در دمای بالاتر بود را توسعه دادند. هالند و همکارانش [۷]، چندین ترکیب مختلف و نحوه کنترل دو مرحله‌ای واکنش تبلور برای رسیدن به بلورهای نانومتری با بیش از ۵۰٪ حجمی شرح نمودند. شکل (۳) شماتیک فرآیند کنترلی تبلور و دماهای انجام آنها را در شیشه‌سرامیک سیستم LAS نشان می‌دهد. در فرآیند کنترلی ابتدا و در مرحله‌ی جوانهزنی تعداد بسیار زیادی جوانه تولید می‌شوند و در مرحله رشد زمان کافی به آنها داده می‌شود تا به ابعاد زیر صد نانومتر برسند.



شکل ۳- شماتیک تبلور کنترلی برای فاز محلول جامد- $\beta$ -کوارتز [۷]

قابل ذکر است که محدوده دمایی یا زمانی شکل (۳) تابع ترکیب استوکیومتریک متفاوت مواد تشکیل‌دهنده می‌باشد [۷-۱۲].

#### ۴- بررسی خواص اپتیکی شیشه و شیشه‌سرامیک LAS

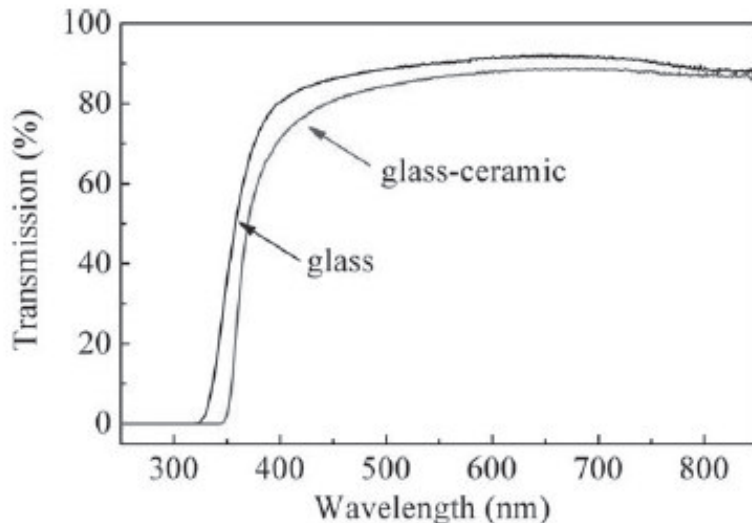
در این قسمت خواص اپتیکی شیشه‌سرامیک شفاف LAS حاوی بلورهای نانومتری شرح داده شده است. طیف‌های جذب، نشر و عبور در محدوده طول موج مرئی و در برخی از موارد بررسی طیف‌های Raman، IR و آورده شده است. چنانچه قبل از اشاره شد، به علت اختلاف کم ضریب شکست بین شیشه‌ی پایه و فازهای محلول جامد  $\beta$ -کوارتز،  $\beta$ -ایوکریپتیت و  $\beta$ -اسپودومن، پراکنش داخلی نور در ماده ناچیز است.

تولید بلورهای کوچکتر از طول موج نور مریب باعث می‌شود تا شیشه‌سرامیک شفاف بdest آید. فاز محلول جامد بتاکوارتز در فصل مشترک فازشیشه‌ای و فازهایی مانند اسپودومن و ایوکریپتیت قابلیت جدایش فازی و تشکیل را دارد. بر این اساس در ترکیبات مختلف سیستم LAS می‌توان با عملیات حرارتی مناسب فازهای مختلف را بر حسب نیاز به خواص مختلف اپتیکی، متبلور کرد. وجود عناصر مختلف از گروه فلزات واسطه و عناصر نادر خاکی در مکان‌های مختلف بین‌نشینی یا در فازهای مختلف و به دلیل انرژی وابستگی مختلف باعث تغییر در طیف نشری و جذبی این ماده خواهد شد [۱۷-۲۳].

#### ۴-۱-بررسی اسپکتروسکوپی شیشه و شیشه‌سرامیک سیستم LAS

سیستم شیشه‌ای LAS با ترکیب مولی استوکیومتریک  $\text{Li}_2\text{O}:\text{Al}_2\text{O}_3:\text{SiO}_2 = 1:1:4$  که در آن یون لیتیوم به صورت جزبی با یون‌های منیزیوم و روی جایگزین شده است، به منظور بررسی خواص اپتیکی با روش ذوب و ریخته‌گری بررسی شد. با انجام عملیات حرارتی دومرحله‌ای در محدوده دمای بین  $700^{\circ}\text{C}$ -۹۰۰ تبلور فاز  $\beta$ -کوارتز انجام شد. شکل (۵) آنالیز DSC و شکل (۶) الگوی XRD شیشه و شیشه‌سرامیک تولیدی را نشان می‌دهند. به راحتی و از روی نمودارها می‌توان دلیل انتخاب دمای‌های عملیات حرارتی و نوع فازهای تولیدی پس از انجام عملیات حرارتی را دانست.

شکل (۴) طیف عبوری شیشه‌پایه LAS را در مقایسه با شیشه‌سرامیک همین سیستم مذکور نشان می‌دهد. چنانچه مشاهده می‌شود، شیشه و شیشه‌سرامیک LAS در تمامی طول موج‌های طیف مرئی عبوری بیش از ۸۰٪ را نشان می‌دهد. اختلاف جزبی در عبور نور و کاهش آن برای شیشه‌سرامیک به علت پراکنش جزبی در مرزهای دانه و همچنین فصل مشترک شیشه و بلور است. با مشاهده طیف EPR (Electron Magnetic Resonance) این مواد، هیچگونه پیکی مشاهده نشد. وجود نداشتن پیک در منحنی EPR به علت وجود نداشتن ناخالصی پارامغناطیس در شیشه LAS است [۱۸].



شکل ۴- طیف جذبی شیشه و شیشه‌سرامیک سیستم LAS [۱۸]

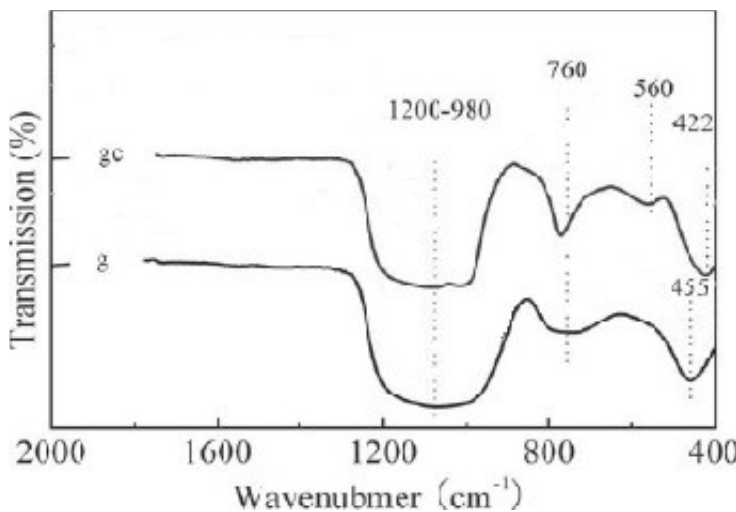
شکل (۵) طیف IR شیشه و شیشه‌سرامیک LAS را نشان می‌دهد. ۳ پیک در طول موج‌های مختلف IR مشاهده می‌شود. پیک اول که منطبق با عدد موج  $980-1200 \text{ cm}^{-1}$  که بسیار گسترده و پهن می‌باشد مربوط به پیوندهای نامتقارن Si-O-Si می‌باشد. به این دلیل که باندهای ذکر شده که با جایگزینی Al به جای Si بوجود می‌آیند (Si-O-Al) نیز در این محدوده طول موجی ارتعاش داشته و در نتیجه طیف IR را جذب می‌کنند. پیشینی می‌شود قسمتی از جذب به علت حضور این نوع باندها باشد. جذب حاصل در طول موج  $760 \text{ cm}^{-1}$  که تیز است مربوط به ارتعاش حاصل از باندهای متقارن Si-O-Si می‌باشد. در نهایت جذب موجود در



طول موج  $455\text{ cm}^{-1}$  مربوط به باند O-Si-O است که ویژگی سه بعدی شبکه را تکمیل می‌سازد. تفاوت بین طیف‌های مشخص شده در شیشه و شیشه‌سرامیک تنها به میزان پهن شدگی آنها وابسته است.

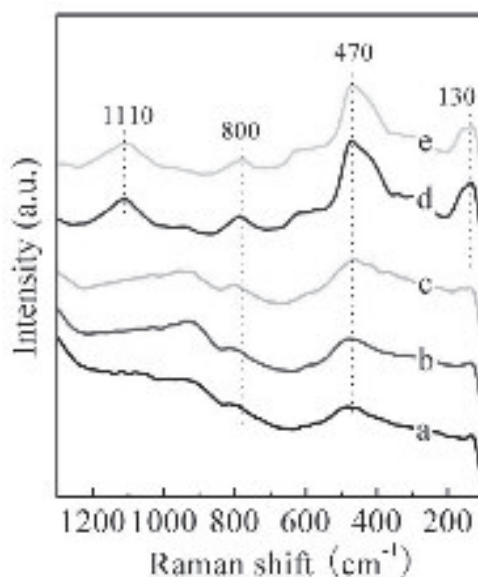
شیشه‌سرامیک به دلیل داشتن نظم بلورین بیشتر، جذب‌های تیزتری نسبت به شیشه دارد [13-15].

شکل (۶) طیف رامان شیشه و شیشه‌سرامیک سیستم LAS را در حالت بدون افزودنی و کمک ذوب  $\text{TiO}_2$  و  $\text{ZrO}_2$  نشان می‌دهد. حضور باندهای ضعیف در  $800\text{ cm}^{-1}$  و  $470\text{ cm}^{-1}$  نشان‌دهنده ساختار کاملاً تصادفی و بدون نظم آلومینوسیلیکات است. هنگامی که عملیات حرارتی در محدوده  $750\text{--}850^\circ\text{C}$  در مورد این شیشه انجام می‌گیرد، پیوندهای بیشتری در طیف رامان مشاهده می‌شود. پیوند ضعیف در  $1110\text{ cm}^{-1}$  مربوط به لرزش پیوندهای نامتقارن  $\text{Al}^{4+}\text{-O-Si}^{4+}\text{-Ti}^{4+}$  است. مشاهده می‌شود که باند موجود در  $470\text{ cm}^{-1}$  شدت‌شناختی افزایش یافته است.



شکل ۵- طیف IR شیشه و شیشه‌سرامیک LAS [۱۵]

این پیوند نشان‌دهنده فاز اصلی زمینه یا همان فاز  $\beta$ -کوارتز می‌باشد. باندهای جدید که در طیف رامان نسبت به شیشه‌پایه بوجود آمده است، در  $130\text{ cm}^{-1}$  و  $800\text{ cm}^{-1}$  به ترتیب مربوط به فاز بلورین غیرمتقارن آناتاز و فاز شیشه‌ای آلومینایی می‌باشد [۱۸].



شکل ۶- طیف رامان شیشه و شیشه‌سرامیک LAS در دماهای عملیات حرارتی مختلف به مدت ۳۰ دقیقه  
شیشه‌پایه (a)  $850^\circ\text{C}$  (b)  $750^\circ\text{C}$  (c)  $200^\circ\text{C}$  (d)  $800^\circ\text{C}$  (e)  $1110^\circ\text{C}$

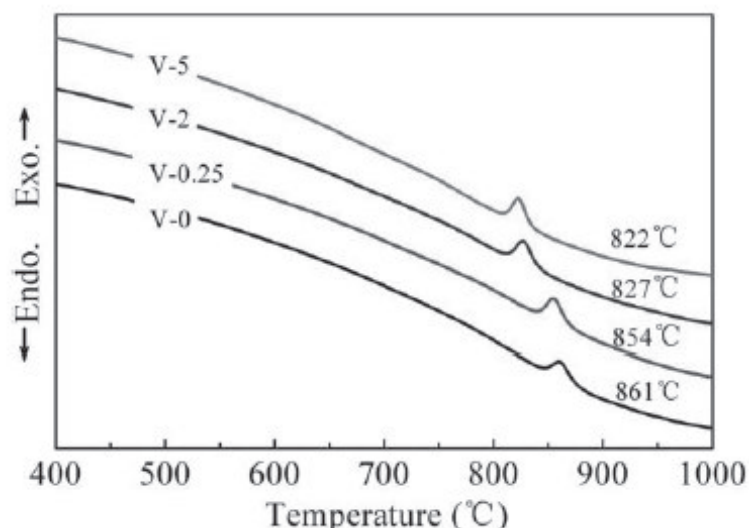


#### ۴-۲- بررسی اسپکتروسکوپی شیشه‌سرامیک LAS در حضور ناخالصی

چنانچه مشخص است، شیشه و شیشه‌سرامیک LAS خواص اپتیکی مناسبی دارد. در صورتی که بخواهیم از این خواص اپتیکی استفاده کنیم، اضافه کردن افروزنی‌ها به منظور ایجاد ترازهای الکترونی اضافی در ماده ضروری است. در این حالت خواص جذبی، نشری و عبوری می‌تواند تحت تأثیر قرار گیرد. در این قسمت، رفتار اپتیکی LAS در حضور ناخالصی‌های مختلف بررسی خواهد شد [۱۷].

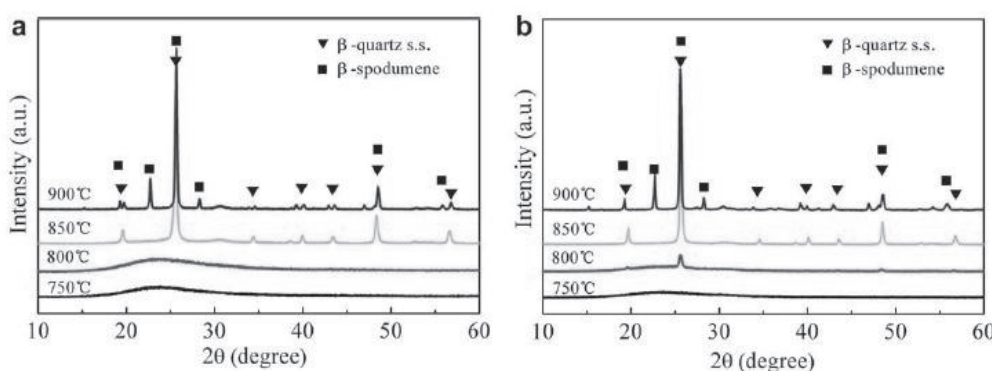
#### ۴-۲-۱- تأثیر اکسید وانادیوم بر خواص اپتیکی LAS

شکل (۷) نمودارهای DSC شیشه‌سرامیک LAS را در حضور مقادیر مختلف اکسید وانادیوم نشان می‌دهد. چنانچه مشخص است، افزودن وانادیوم تا ۵٪ دمای  $T_g$  شیشه را از ۸۶۱ °C به ۸۲۲ °C کاهش می‌دهد. مشخص است که روند کاهش دمایتبلور در مقادیر بیش از ۲٪ به شدت کاهش می‌یابد.



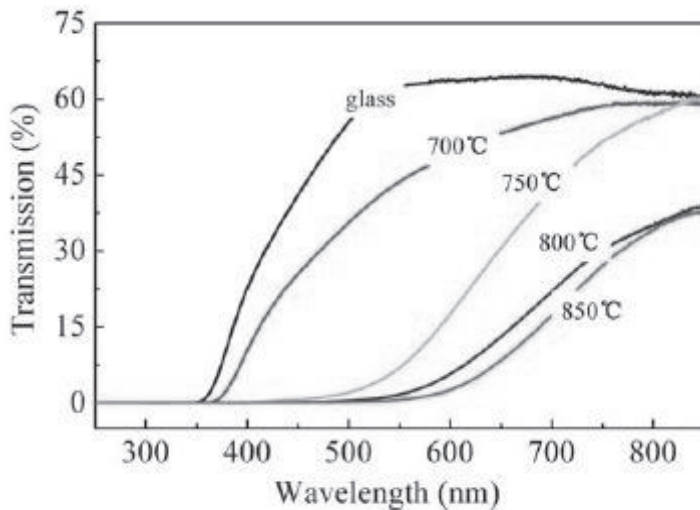
شکل ۷- نمودارهای DSC شیشه‌سرامیک LAS در حضور مقادیر مختلف اکسید وانادیوم [۱۸]

شکل (۸) نمودارهای XRD برای نمونه‌های عملیات حرارتی شده در دماهای مختلف را نشان می‌دهد. تمامی نمونه‌هایی که در دمای ۷۵۰ °C تحت عملیات حرارتی قرار گرفته‌اند، هیچگونه پیکی در الگوی XRD شان مشاهده نمی‌شود. نمونه‌های حاوی اکسید وانادیوم از دمای ۸۰۰ °C پیک‌های فاز محلول جامد  $\beta$ -کوارتز را در الگوی خود نشان می‌دهند، در حالی که نمونه بدون افزودنی کماکان به صورت آمورف باقی می‌ماند. از دمای ۸۵۰ °C به بالا تمامی نمونه‌ها فاز  $\beta$ -کوارتز را در الگوی خود نشان می‌دهند.



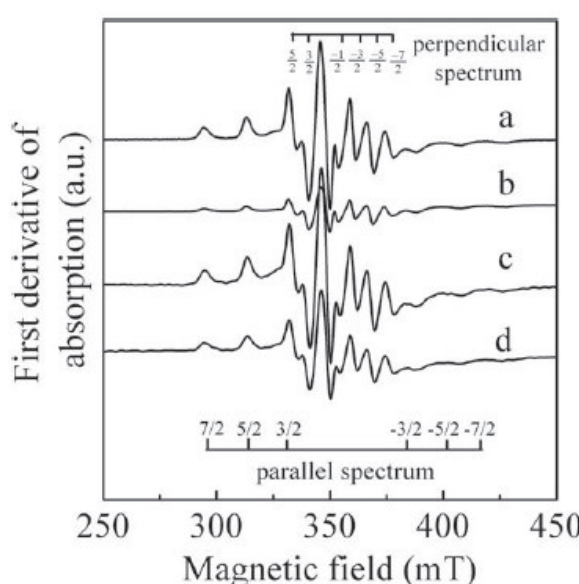
شکل ۸- الگوهای XRD شیشه‌سرامیک سیستم LAS در دماهای عملیات حرارتی مختلف. (a) بدون حضور ناخالصی (b) در حضور ۲٪  $V_2O_5$  [۱۸]

شکل(۹) نمودار عبوری نمونه‌های LAS حاوی  $\text{V}_2\text{O}_5$ ٪ ۰/۲۵ اکسید وانادیوم که در دماهای مختلف تحت عملیات حرارتی قرار گرفته است را نشان می‌دهد. مشاهده می‌شود که افزایش دمای عملیات حرارتی باعث عبور انتخابی در برخی از طول موج‌های طیف مرئی خواهد شد. این خاصیت به علت حضور وانادیوم در جاهای خالی بین نشین فاز  $\beta$ -کوارتز و جذب انتخابی به علت تغییرات باند الکتریکی است. وانادیوم جزء عناصر عامل رنگ بوده و این رفتار قابل پیش‌بینی بود.



شکل ۹- نمودار طیف عبوری طول موج مرئی برای شیشه‌سرامیک‌های عملیات حرارتی شده در دماهای مختلف در حضور  $\text{V}_2\text{O}_5$ ٪ ۰/۲۵ [۱۸]

شکل(۱۰) طیف EPR به منظور بررسی حالات ساختاری بون وانادیوم در شیشه پایه و شیشه‌سرامیک LAS را نشان می‌دهد. در نمونه بدون افزودنی، سیگنال پارامغناطیس مشاهده نشد، زیرا عنصر ناخالصی در ساختار وجود ندارد. در حضور ناخالصی وانادیوم، سیگنالی در محدوده ۳۰۰ تا ۴۰۰ میلی‌تسلا مشاهده شد. این سیگنال مشابه سیگنال موجود در مواد دیگر در حضور ناخالصی وانادیوم است. وجود این سیگنال به ماهیت وانادیوم و الکترون جفت‌نشده  $3d^1$  در زمینه بلور نسبت داده می‌شود.



شکل ۱۰- طیف EPR شیشه و شیشه‌سرامیک سیستم LAS. (a) شیشه حاوی  $\text{V}_2\text{O}_5$ ٪ ۰/۲ (b) شیشه‌سرامیک حاوی  $\text{V}_2\text{O}_5$ ٪ ۰/۵ (c) شیشه حاوی  $\text{V}_2\text{O}_5$ ٪ ۰/۵ (d) شیشه‌سرامیک حاوی  $\text{V}_2\text{O}_5$ ٪ ۰/۵ [۱۸]



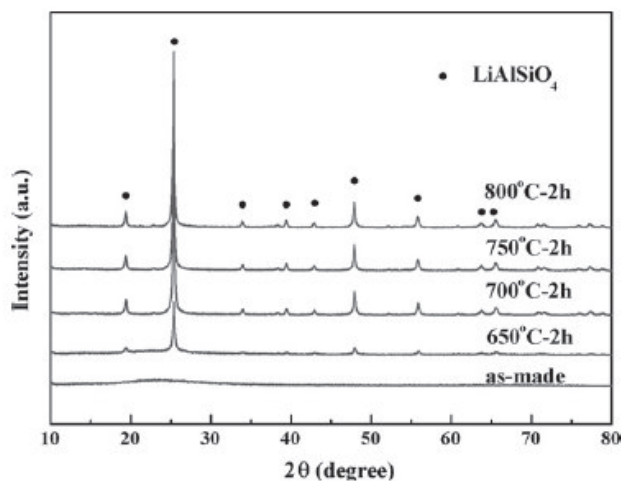


#### ۴-۲-۲- تاثیر اکسید نیکل بر خواص اپتیکی LAS

سیستم شیشه‌ای LAS با ترکیب تقریبی استوکیومتریک  $\text{Li}_2\text{O}:\text{Al}_2\text{O}_3:\text{SiO}_2 = 1:1:2$  به منظور بررسی خواص اپتیکی با روش ذوب و ریخته‌گری تهیه شد. با استفاده از DTA دمای شیشه‌ای شدن  $585^\circ\text{C}$  اندازه‌گیری شد و به همین دلیل عملیات حرارتی در محدوده  $650-850^\circ\text{C}$  بررسی شد [۱۹].

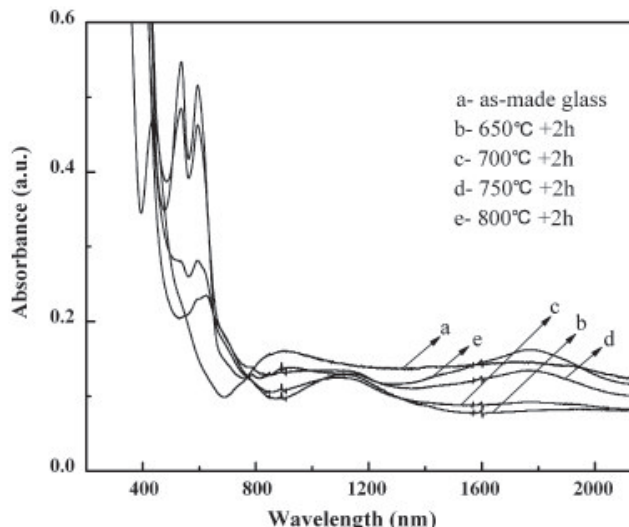
شکل (۱۱) الگوی XRD نمونه تحت عملیات حرارتی مختلف را نشان می‌دهد. جوانه‌های نانومتری  $\beta$ -اسپودومن به اندازه  $30-40\text{ nm}$  در زمینه شیشه ایجاد شده‌اند.

شکل (۱۲) طیف جذبی نمونه‌های تحت عملیات حرارتی مختلف را نشان می‌دهد. طیف شیشه‌پایه، ۳ باند جذبی در محدوده‌های تقریبی  $400$ ،  $900$  و  $1760\text{ nm}$  را نشان می‌دهد. در هنگام عملیات حرارتی، یون‌های Ni در مکان‌های هشت و چهاروجهی، جایگزین یون‌های Li می‌شوند. به همین علت و با تغییر سطح انرژی تهییجی، باندهای جذبی به صورت متناظر تغییر می‌یابند.



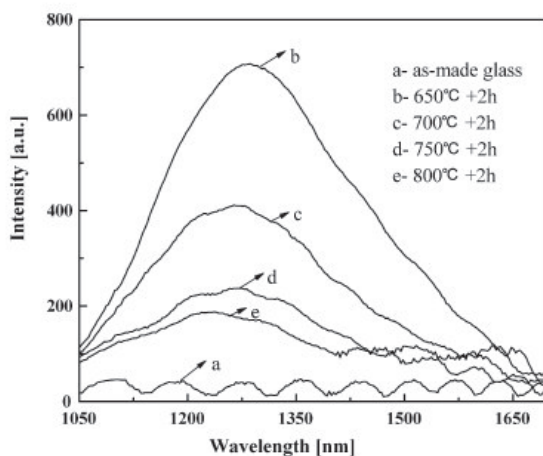
شکل ۱۱- الگوی XRD شیشه و شیشه‌سرامیک سیستم LAS در دماهای عملیات حرارتی مختلف [۱۹]

وقتی عملیات حرارتی در محدوده  $650^\circ\text{C}$  انجام گرفته باشد، باندهای جذبی در  $685$  و  $1110\text{ nm}$  را می‌توان به گذارهای الکترونی ( $\text{Ni}^{2+} \rightarrow ^3\text{T}_2(\text{F}) - ^3\text{A}_2(\text{F})$ ) و ( $\text{Ni}^{2+} \rightarrow ^3\text{A}_1(\text{F})$ ) تشخیص داد. به همین طریق می‌توان علت بوجود آمدن باندهای جذبی مختلف در شیشه‌سرامیک را به قرار گرفتن یون  $\text{Ni}^{2+}$  در مکان‌های مختلف شبکه بلوری یا مکان‌های مختلف شیشه، نسبت داد.



شکل ۱۲- طیف جذبی شیشه و شیشه‌سرامیک LAS در حضور ناخالصی Ni و در دماهای عملیات حرارتی مختلف [۱۹]

شکل(۱۳) طیف نشری شیشه و شیشه‌سرامیک مذکور را در محدوده مادون قرمز، نشان می‌دهد. مشاهده می‌شود که شیشه‌پایه هیچگونه نشری در این ناحیه از خود نشان نمی‌دهد. اما پس از عملیات حرارتی، پیک پهن مادون قرمز مربوط به گذار الکترونی ( $F \rightarrow ^3A_2(F)$ ) یون  $Ni^{2+}$  در مکان‌های اکتاهدرال شبکه‌ای، مشاهده می‌شود. با افزایش دمای عملیات حرارتی، شدت لومیننسنس به علت تغییر مکان‌های یون  $Ni$  کاهش می‌یابد و طول موج آن به مقادیر کمتر (از  $1300$  nm به  $1225$  nm) کاهش می‌یابد. در نتیجه در این مورد، دمای عملیات حرارتی  $C^{\circ} ۵۰$  به عنوان دمای مناسب عملیات حرارتی در نظر گرفته شد. ماده شفاف شیشه‌بلوری LAS که با یون‌های  $Ni^{2+}$  آلاییده باشد، به عنوان تقویت کننده فیبر نوری و لیزر حالت جامد کاربرد دارد.

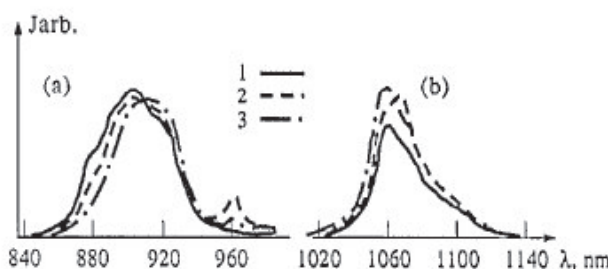


شکل ۱۳- طیف نشری شیشه و شیشه‌سرامیک LAS در حضور ناخالصی Ni و در دماهای عملیات حرارتی مختلف [۱۹]

#### ۴-۲-۳- تاثیر اکسید نئو‌دیوم بر خواص اپتیکی LAS

شیشه‌سرامیک با ترکیب شیمیایی شیشه‌پایه  $73\% SiO_2 - 15\% Al_2O_3 - 12\% Li_2O - 2\% Nd_2O_3$  به همراه  $3\%$  عامل جوانه‌زا  $ZrO_2$  و  $1\%$   $\beta$ -اسپودومن به عنوان ناخالصی آماده شد. سپس عملیات حرارتی در محدوده  $800-830^{\circ}C$  در زمان‌های  $1-50$  hr بر روی شیشه‌پایه انجام شد. با انجام عملیات حرارتی به ترتیب و با افزایش دما، فازهای محلول جامد  $\beta$ -ایوکریبتایت و  $\beta$ -اسپودومن تشکیل شدند. در طیف جذبی شیشه و شیشه‌سرامیک این سیستم تفاوتی مشاهده نشد. تنها در محدوده ماراء بنفش طیف شیشه‌سرامیک نسبت به شیشه‌پایه، به شدت‌های بالاتر تغییر پیدا کرد. دلیل این تغییر افزایش میزان پراکنش حاصل از وجود بلورهای در محدوده طول موج فرابنفش می‌باشد [۲۰].

شکل(۱۴) طیف نشری شیشه و شیشه‌سرامیک این سیستم را نشان می‌دهد. ۲ پیک در منحنی لومیننسنس این مواد مشاهده می‌شوند، که مربوط به گذارهای الکترونی  $4F_{9/2} \rightarrow 4F_{3/2}$  (۸۸۰-۹۳۰ nm) و  $4F_{3/2} \rightarrow 4I_{11/2}$  (۱۰۴۰-۱۱۰۰ nm) می‌باشند. این طیف‌ها به دلیل قرارگرفتن یون‌های  $Nd^{3+}$  در دو مکان مختلف شبکه یا ساختار بوجود می‌آیند.



شکل ۱۴- طیف لومیننسنس یون  $Nd^{3+}$ . ۱- شیشه‌پایه، ۲- شیشه‌سرامیک بر پایه  $\beta$ -ایوکریبتایت، ۳- شیشه‌سرامیک بر پایه  $\beta$ -اسپودومن. (a)  $4F_{9/2} \rightarrow 4F_{3/2}$  (b)  $4F_{3/2} \rightarrow 4I_{11/2}$



## ۵- خلاصه

انجام عملیات حرارتی کنترل شده که در دو مرحله و به صورت جوانهزنی و رشد مجزا صورت می‌پذیرد، احتمال بوجود آمدن بلورهای نانومتری بیش از ۵۰٪ حجمی را فراهم می‌آورد. در این حالت و به دلیل اختلاف کم ضریب شکست بین شیشه‌پایه و فازهای بلوری حاصله (پراکنش جزیی نور)، شیشه‌سرامیک شفاف حاصل می‌گردد. حضور ناخالصی‌های مختلف در شیشه‌سرامیک و بین‌نشینی آنها در مکان‌های مختلف شبکه‌ای باعث بوجود آمدن گذارهای مختلف الکترونی و در نتیجه خواص مختلف جذبی و نشری در طول موج‌های IR و مرئی خواهد شد. از این نوع شیشه‌سرامیک‌ها می‌توان در کاربردهای مختلف اپتیکی نظری لیزرهای حالت جامد و تقویت کننده‌های نوری استفاده کرد. پیش‌بینی می‌شود که با افزودن ناخالصی‌های دیگر از گروه‌های فلزات انتقالی و عناصر نادر خاکی همچنین افزودن همزمان چند نوع از آنها بتوان خواص کاملتر و جدیدتری را در زمینه اپتیک یافت. امید است که این مقاله راهگشای تحقیقات تکمیلی آینده در زمینه مواد پیشرفته اپتیکی باشد.

## مراجع

1. D. A. Duke and G. A. Chase, Glass-Ceramics for High Precision Reflective-Optic Applications, May 1968 / Vol. 7, No. 5 / APPLIED OPTICS, p 813-823.
2. Peter Hartmann, et al., Optical glass and glass ceramic historical aspects and recent developments: a Schott view, 1 June 2010 / Vol. 49, No. 16 / APPLIED OPTICS, p 157-176.
3. Fouad El-Diasty, et al., Optical band gap studies on lithium aluminum silicate glasses doped with Cr<sup>3+</sup> ions, JOURNAL OF APPLIED PHYSICS 100, 093511, 2006.
4. Pannhorst Wolfgang, Development and application of glass ceramics, Glastech. Ber. Glass Sci. Technol. 73 C1 (2000).
5. Wolfram Holand, George Beall, Glass Ceramics Technology, Published by The American Ceramic Society, 735 Ceramic Place, Westerville, OH 43081.
6. Hans Bach, Dieter Krause, Low Thermal Expansion Glass Ceramics, Springer-Verlag Berlin Heidelberg 1995, 2005.
7. M. Guedes, et al., Nucleation and crystal growth in some commercial LAS compositions, Journal of European Ceramic Society 21 (2001) 1187-1194.
8. Wolfram Höland, Volker Rheinberger and Marcel Schweiger, Control of nucleation in glass ceramics, Philosophical Transaction, mathematical physical and engineering science, 2010.
9. A. W. A. El-shennavi, et al., Crystallization of some aluminosilicate glasses, Ceramics international 27 (2001) 725-730.
10. K. Nakagava, et al., Metastable phase separation and crystallization of LAS glasses, Journal of non-crystalline solids 7 (1972) 168-180.
11. A. G. Afonin, Phase Composition of Lithium Aluminosilicate Glass-Ceramics, Inorganic Materials, 2006, Vol. 42, No. 5, pp. 562-566.
12. Sean J. O'Connor, et al., Synthesis, characterisation and thermal behaviour of lithium aluminosilicate inorganic polymers, J Mater Sci (2010) 45:3707-3713.
13. A. Buch, et al., Transparent glass ceramics: Preparation, characterization and properties, Materials Science and Engineering 71 (1985) 383-389.
14. P. A. Tick, et al., The relationship between structure and transparency in glass-ceramic materials, Optical Materials 15 (2000) 81±91.
15. M. Mortier, et al., New progress in transparent rare-earth doped glass ceramics, Optical Materials 16 (2001) 255-267.
16. M. Clara Gonçalves, et al., Rare-earth-doped transparent glass ceramics, C. R. Chimie 5 (2002) 845-854.
17. Kyu-Han Park, et al., The correlation between the crystalline phases and optical reflectance in glassceramics for IR reflector, Journal of Ceramic Processing Research. Vol. 3, No. 3, pp. 153~158 (2002).
18. Yaohui Li, et al., Spectroscopy and structural state of V<sup>4+</sup> ions in lithium aluminosilicate glass and glass-ceramics, Journal of Non-Crystalline Solids 356 (2010) 502-508.
19. Gaofeng Feng, et al., Transparent Ni<sup>2+</sup>-doped lithium luminosilicate glass-ceramics with broadband infrared luminescence, Journal of Alloys and Compounds 457 (2008) 506-509.
20. A. A. Dymnikov, et al., The structure of luminescence centers of neodymium in glasses and transparent glass-ceramics of the Li<sub>2</sub>O--Al<sub>2</sub>O<sub>3</sub>--SiO<sub>2</sub> system, Journal of Non-Crystalline Solids 196 (1996) 67-72.



# تأثیر اتمسفر سینتر بر دیرگدازهای کاربید سیلیسیم دارای بالکلی ایرانی

طاهره عارف عشقی<sup>۱</sup>، اسماعیل صلاحی<sup>۲</sup>، علی نعمتی<sup>۳</sup>، مهران غفاری<sup>۲</sup>

<sup>۱</sup> دانشکده مهندسی مواد، دانشگاه آزاد اسلامی واحد علوم و تحقیقات تهران،

<sup>۲</sup> دانشکده مهندسی مواد، پژوهشگاه مواد و انرژی،

<sup>۳</sup> دانشکده مهندسی و علم مواد، دانشگاه صنعتی شریف

tahere.arefa@gmail.com

**چکیده:** هدف از این پژوهش بررسی اثر اتمسفر سینتر بر دیرگدازهای کاربید سیلیسیم دارای بالکلی ایرانی و بررسی استحکام خمشی و ریزساختار آنها است. به این منظور نمونه‌هایی از مخلوط ۱۰ درصد وزنی کاربید سیلیسیم با مش. ۴۰۰، همراه ۱۰ درصد وزنی از بالکلی ایرانی و ۱۰ درصد وزنی آلومینیا، تهیه و در دو کوره یکی با اتمسفر هوای (کسیدی) و دیگری با اتمسفر نیتریدی، در دمای ۱۵۰۰°C و زمان ۵ ساعت سینتر شدند. این امر سبب شد که در اتمسفر اکسیدی دیرگداز کاربید سیلیسیم با اتصال رسی و در اتمسفر نیتریدی، دیرگداز کاربید سیلیسیم با اتصال سیالونی تشکیل گردد. سپس تخلخل، چگالی و استحکام خمشی در دمای اتاق این بدنها اندازه‌گیری و با یکدیگر مقایسه شد و مشاهده شد که با پخت نمونه‌ها در اتمسفر نیتریدی، تخلخل تقریباً دو برابر شده و دانستیه کاهش یافته است و خواص مکانیکی نیز افت کرده است، بطوریکه استحکام خمشی از ۴۰ MPa در نمونه سینتر شده در اتمسفر هوای ۲۷ MPa در نمونه سینتر شده در اتمسفر نیتریدی رسید. همچنین مشاهده شد که با تغییر اتمسفر، ویژگی‌های ریزساختاری و ظاهر نمونه دچار تغییر شد.

## ۱- مقدمه

دیرگدازهایی با اتصال اکسیدی بخصوص اتصال رسی جزء دیرگدازهای کم هزینه و متدائل کاربید سیلیسیم بوده که تولید آن‌ها از محبویت بالایی برخوردار است و در ساخت بوتلهای دیرگداز ریخته‌گری، ساگارهای صنعت چینی‌سازی و همچنین صفحات دیرگداز، بسیار بکار برده می‌شوند. عموماً کاربردها، خواص مکانیکی دما بالا و مقاومت به خوردگی دیرگدازهای کاربید سیلیسیم با اتصال اکسیدی توسط میزان فاز شیشه موجود در ترکیب و همچنین دمای نرم شوندگی آن محدود و مشخص می‌شود<sup>[۱]</sup>. دیرگدازهای کاربید سیلیسیمی با اتصال رسی نسبت به دیرگدازهای رس-شاموت باعث افزایش ۳/۵ برابر بازده کوره شده و دارای رسانش گرمایی بالاتری (تقریباً ۸ برابر) از مواد شاموت-رس هستند، در نتیجه باعث بهبود کیفیت ماده پخته شده می‌شوند<sup>[۲]</sup>.

بدنه‌های کاربید سیلیسیمی با اتصال سیالونی نسبت به بدنه‌های اتصال اکسیدی کاربید سیلیسیمی، استحکام دمای بالا، ترانس ابعادی کم، مقاومت به شوک حرارتی بالا و خاصیت دیرگدازی بهتری دارند و در مقابله با مذاب‌های فلزی و غیر فلزی و در برابر اکسید شدن مقاومت خوردگی خوبی از خود نشان می‌دهند<sup>[۳-۶]</sup>. سیالون‌ها به طور وسیعی به عنوان مواد دما بالا استفاده می‌شوند زیرا دارای خواص حرارتی و مکانیکی عالی هستند، از این رو دیرگدازهای کاربید سیلیسیم با اتصال سیالونی به دلیل بهبود خواص دما بالا، جالب توجه هستند. از طرف دیگر فرایند جدید تهیه دیرگدازهای کاربید سیلیسیم با اتصال سیالون از رس، ارزان و آسان بوده و علاوه بر ایجاد اتصال باعث بالا بردن چگالش نیز می‌شود<sup>[۷،۸]</sup>. از طرف دیگر نوع و مقدار افزودنی

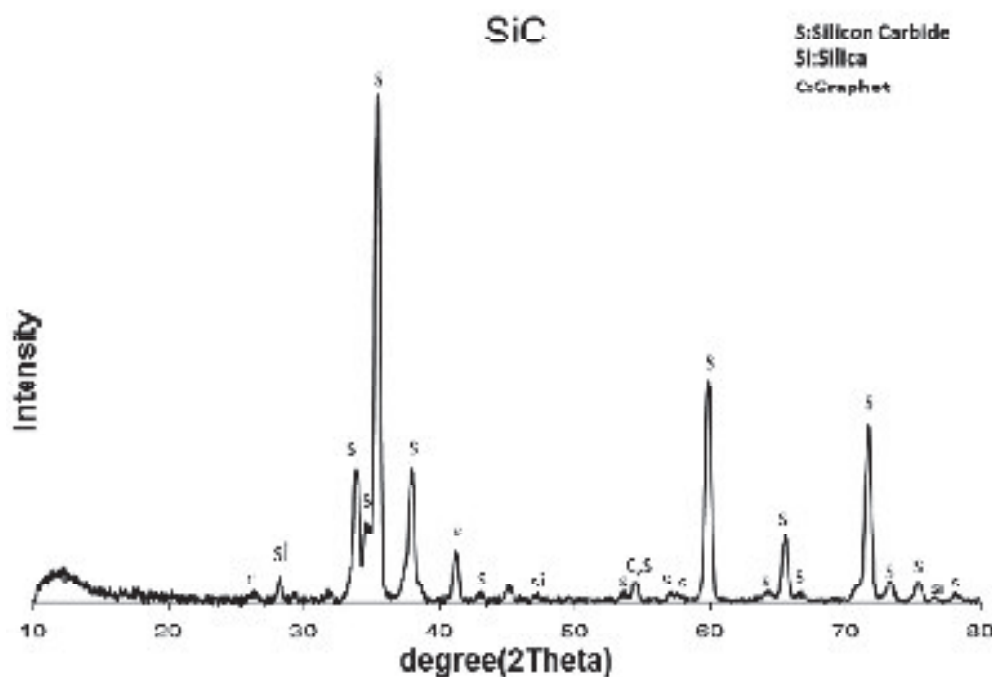


سینتر روی مرفوولوژی دانه‌های سیالون و رشد آنها تاثیر می‌گذارد. همچنین دمای نرم شوندگی و گرانبوی فاز شیشه و سرعت چگالش می‌تواند به وسیله افزودنی‌های مختلف اکسیدهای فلزی تغییر داده شود[۹]. از جمله‌ای این مواد افزودنی آلمینا است که علت افزودن آن به بدنه اصلی، بهبود خواص مکانیکی و دیرگذاری بیان شده است، به طوری که اشاره شده جایگزینی ده درصد وزنی آلمینا در ترکیب بدنه می‌تواند مقاومت به اکسید شدن و شوک پذیری قطعه را افزایش دهد[۱۰-۱۲]. تصور بر این است که افزودن آلمینا به مخلوط رس و کاربید سیلیسیم در اتمسفر نیتریدی، موجب کاهش دمای تشکیل فازهای سیالونی و در نتیجه افزایش استحکام می‌شود. بنابر آن‌چه اشاره شد حضور آلمینا به عنوان جوانه‌زا جهت تشکیل فاز مولايت مفید است[۱۳] و طبق معادلات فرآیندهای کربوترمال، فاز مولايت تشکیل شده به فازهای سیالونی تبدیل می‌شود[۱۴، ۱۵]. طبق این معادلات، به نظر می‌رسد که هر چه مقدار فاز مولايت بیشتر باشد، احتمال افزایش مقدار تشکیل فاز بتا-سیالون بیشتر خواهد شد. در اتمسفر اکسیدی نیز آلمینا با  $\text{SiO}_2$  حاصل از رس مصرفی واکنش داده و در نتیجه آن سهم فاز شیشه‌ای کاهش یافته و ویژگی‌های دیرگذاری بهبود می‌یابد. در این حالت، بلورهای مولايت از درون مایع ویسکوز آلمیناسیلیکاتی رشد می‌کنند و البته مرفوولوژی، استوکیومتری و ترکیب مولايت تابع کامل از نوع مواد اولیه و روش تولید است[۱۱، ۱۶، ۱۰].

## ۲- فعالیت‌های تحریبی

### ۱- مواد اولیه

مواد اولیه مورد استفاده در این پژوهش کاربید سیلیسیم هگزاگونال( $\alpha$ )، با مش. ۴۰۰ (الگوی اشعه ایکس آن در شکل ۱ آورده شده است) و بالکلی ایرانی ARB20 سوراجین عقیق (ترکیب شیمیایی آن در جدول ۱ نشان داده شده است)، آلمینا(مش. ۲۷۰) از نوع کوراندم با الگوی اشعه ایکس نشان داده شده در شکل ۳، به همراه محلول ۱/۵ درصد وزنی چسب PVA است. نمونه‌های کاربید سیلیسیم با ترکیبات  $\text{SiC}+(10\%) \text{BallclayARB20}+(10\%) \text{Al}_2\text{O}_3$  در اتمسفر هوا و اتمسفر نیتریدی در دمای ثابت ۱۵۰۰°C، در زمان سینتر پنج ساعت پخت شده و به ترتیب با نامهای SBOA و SBNA بیان شدند.

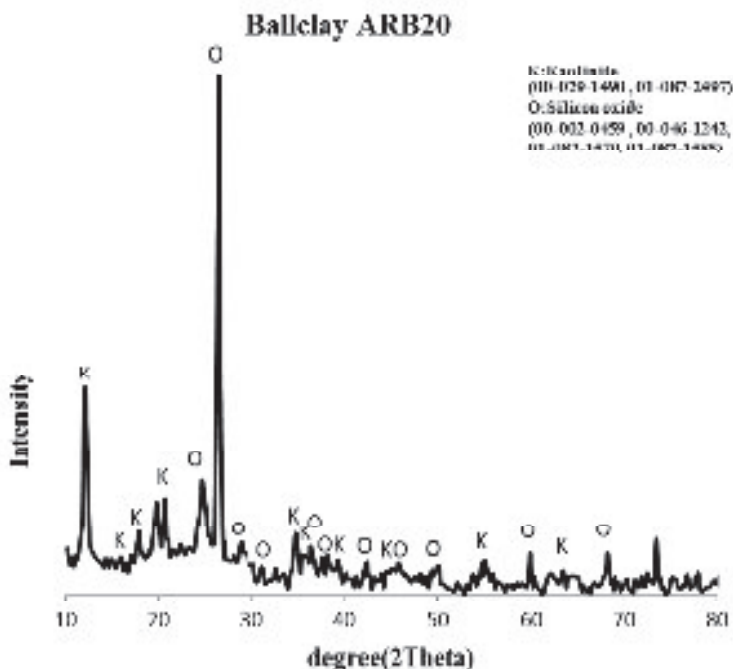


شکل ۱- الگوی پراش پرتو ایکس کاربید سیلیسیم با مش. ۴۰۰ مورد استفاده

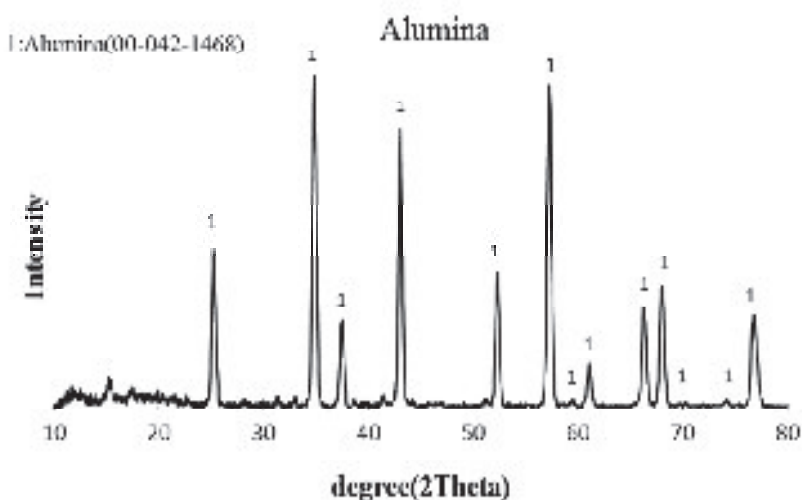


جدول ۱- آنالیز شیمیایی خاک بالکلی ARB20 سوراجین عقیق بر حسب درصد وزنی

SiO <sub>2</sub>	Al <sub>2</sub> O <sub>3</sub>	Fe <sub>2</sub> O <sub>3</sub>	TiO <sub>2</sub>	Na <sub>2</sub> O	K <sub>2</sub> O	CaO	SO <sub>3</sub>	L.O.I	آنالیز شیمیایی خاک بالکلی ARB20 سوراجین عقیق
۶۰	۲۱-۲۲	۱/۵	۱/۵	<۰/۵	<۲	<۰/۵	<۱	۱۲	



شکل ۲- الگوی پراش پرتو ایکس بالکلی ARB20 سوراجین عقیق مورد استفاده



شکل ۳- الگوی پراش پرتو ایکس آلومینای مورد استفاده

## ۲-۲- روش کار

برای تهیه نمونه ابتدا آلومینا و بالکلی آسیا شده و از الک ۲۷۰ عبور داده، مخلوط می‌شوند و آنگاه با آب ترکیب شده تا به شکل دوغاب شود. دوغاب تهیه شده را به کاربید سیلیسیم اضافه کرده و پس از مخلوط شدن، به مدت ۲۴ ساعت درون خشک کن با دمای ۱۱۰°C قرار گرفته تا خشک شود. پس از آن مخلوط تهیه شده را خرد کرده و از الک عبور داده و به منظور گرانول سازی به آن آب و چسب اضافه می‌شود. گرانول‌ها با فشار ۲۵۰ MPa، توسط پرس تک محوره هیدرولیک با قطر پیستون ۱۳ cm پرس شده و پس از خشک شدن در دمای ثابت ۱۵۰°C به مدت پنج ساعت در کوره‌هایی اتمسفر کنترل با اتمسفر هوا و نیتروژن (با خلوص ۹۹/۹۹۹۹) پخت شدند.



### ۳- بحث و بررسی

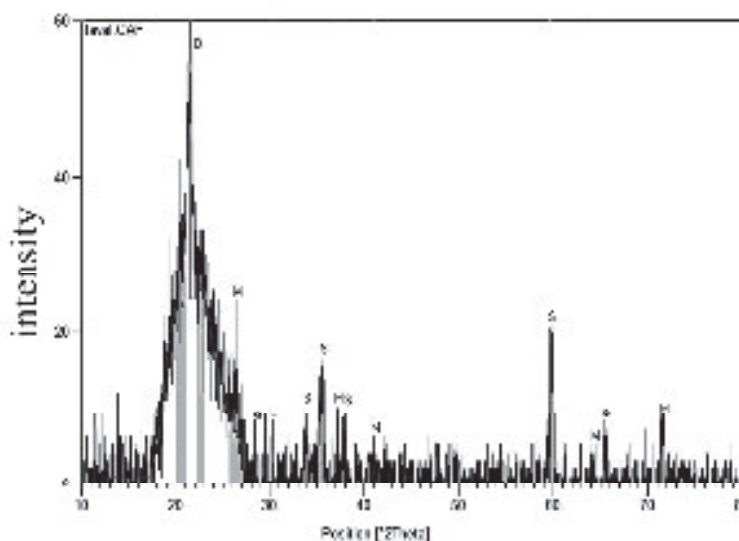
#### ۳-۱- اثر اتمسفر سینتر بر شکل ظاهری نمونه‌ها

بررسی ظاهری نمونه‌ها نشان می‌دهد که در نمونه‌های سینتر شده در اتمسفر نیتریدی و با شرایط پخت بیان شده، هیچ‌گونه عیوبی از قبیل لکه، تاول و دفرمگی دیده نمی‌شود (شکل ۴) و این در حالی است که در سطح نمونه‌های سینتر شده در اتمسفر اکسیدی، تاول‌های شدید دیده شد. علت وجود جوش و تاول را باید در رفتار اکسید شدن و ترکیب زمینه جستجو کرد، به این صورت که در بدنه SBOA با افزایش زمان سینتر، واکنش آلومینای موجود در این بدنه‌ها با ذرات کاربید سیلیسیم و رس در حضور اکسیژن، افزایش یافته و در نتیجه مذاب آلومیناسیلیکات بیشتری تشکیل شده که مانع از خروج گاز  $\text{CO}$  تشکیل شده در این بدنه‌ها می‌گردد و در نتیجه تاول‌های شدید ایجاد می‌شود. وقتی تاول‌ها رشد می‌کنند، می‌ترکند و هوا به درون سوراخ‌های باقیمانده در ریزساختار نفوذ کرده و اکسید شدن آن قسمت تکرار می‌شود. مطابق نتایج بدست آمده توسط الگوی پراش پرتو ایکس، جنس این تاول‌ها از فازهای مولايت، کوارتز، شیشه و  $\text{SiO}_2$  است (شکل ۵). فاز کاربید سیلیسیم موجود در این تاول‌ها نیز ناشی از تراشیده شدن کاربید سیلیسیم در هنگام کندن تاول است.

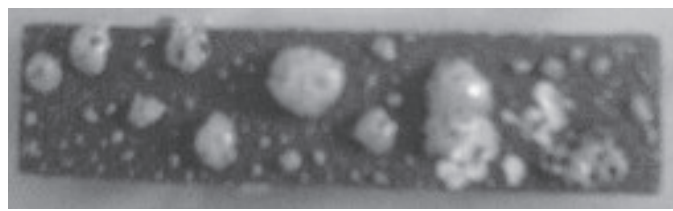
شکل ۶ تصویر نمونه‌های SBOA است.



شکل ۴- تصویر نمونه‌های SBNA در دمای ثابت  $1500^{\circ}\text{C}$  و زمان سینتر ۵ ساعت



شکل ۵- تصویر الگوی پراش پرتو ایکس از تاول‌های تشکیل شده در سطح نمونه‌های SBOA

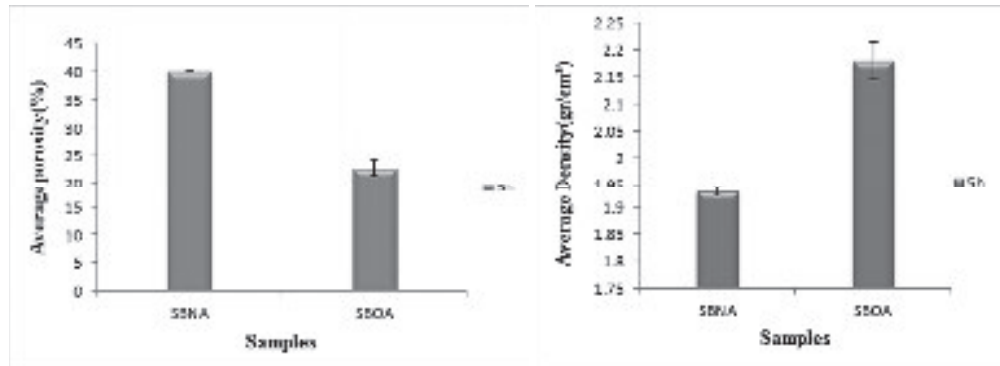


شکل ۶- تصویر نمونه‌های SBOA در دمای ثابت  $1500^{\circ}\text{C}$  و زمان سینتر ۵ ساعت



### ۳-۲-اثر اتمسفر سینتر بر چگالی و تخلخل ظاهری

بررسی چگالی و تخلخل بدندهای SBNA و SBOA نشان می‌دهد که با وجود تاول‌های تشکیل شده در سطح نمونه SBOA و از بین رفتن لایه  $\text{SiO}_2$  محافظه، چگالی این نمونه نسبت به نمونه SBNA بیشتر و تخلخل آن کمتر است (شکل ۷). دلیل این امر را می‌توان این گونه توجیه کرد که در اتمسفر نیتریدی، آلومینیا با ذرات کاربید سیلیسیم و رس واکنش می‌دهد، تایسالون ایجاد کند. در این هنگام به دلیل احیاء شدن آلومینیا تخلخل‌های باز مناسبی برای نفوذ نیتروژن ایجاد می‌شود و آن نیز سبب کاهش چگالی می‌گردد. از طرف دیگر با توجه به تصاویر میکروسکوپ الکترونی رویشی شاهد حضور فاز شیشه بیشتر در نمونه SBOA بوده که این فاز شیشه، استحکام خمشی در دمای اتاق را افزایش می‌دهد. هرچه فاز شیشه بیشتر باشد تخلخل‌های بیشتری پر شده و دانسیته افزایش می‌یابد. کمتر بودن فاز شیشه در نمونه SBNA باعث افزایش میزان تخلخل‌های باز می‌گردد.



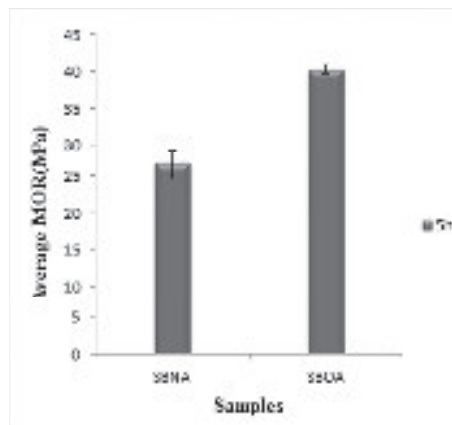
شکل ۷- (راست) میانگین تخلخل نمونه سینتر شده در اتمسفر اکسیدی و نیتریدی و (چپ) میانگین چگالی نمونه سینتر شده در اتمسفر اکسیدی و نیتریدی

### ۳-۳-اثر اتمسفر سینتر بر استحکام خمشی در دمای اتاق

در ابتدا تصور بر این بود که در نمونه SBOA به دلیل تاول‌های تشکیل شده در سطح نمونه که سبب از بین رفتن لایه  $\text{SiO}_2$  محافظه در سطح آن شده و همچنین به دلیل افزایش فاز مولایت، وجود فاز بتا-سیالون و تشکیل تیغه‌ها در داخل حفرات در نمونه SBNA، استحکام خمشی در دمای اتاق در نمونه SBOA پایین از نمونه SBNA باشد، در حالی که این گونه نبود و مشاهده شد که مطابق شکل ۸ در زمان سینتر پنج ساعت، نمونه SBOA دارای استحکام خمشی بالاتری نسبت به نمونه SBNA است. علت این امر از یک طرف مربوط به این است که در اتمسفر نیتریدی به دلیل نفوذی بودن فرآیند نمونه SBNA به زمان بیشتری برای انجام فرایند و رشد تیغه‌ها احتیاج است تا سرتاسر تخلخل‌ها را پوشش دهد و از طرف دیگر در نمونه SBOA به دلیل

فاز شیشه زیاد تشکیل شده و تخلخل کمتر نسبت به نمونه SBNA استحکام خمشی در دمای اتاق بیشتر است. علت وجود فاز شیشه بیشتر در نمونه SBOA نسبت به نمونه SBNA، وجود اکسیژن بیشتر در اتمسفر است که سبب تشکیل فاز  $\text{SiO}_2$  آمرف شده است. زیرا همنظور که می‌دانیم وجود رس در اتمسفر اکسیدی مقدار زیادی فاز آمرف ایجاد می‌کند ولی در اتمسفر نیتریدی به دلیل کمتر بودن اکسیژن در دسترس، فاز آمرف کمتری ایجاد می‌شود. در دمای اتاق حضور فاز شیشه زیاد نسبت به فازهای کریستاله سبب استحکام سرد بالاتر می‌شود.

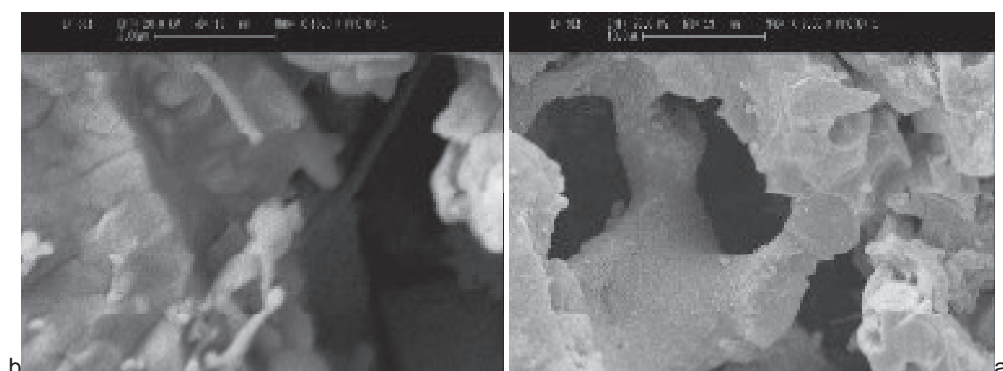
شکل ۸- استحکام خمشی در دمای اتاق نمونه سینتر شده در اتمسفر اکسیدی و نیتریدی



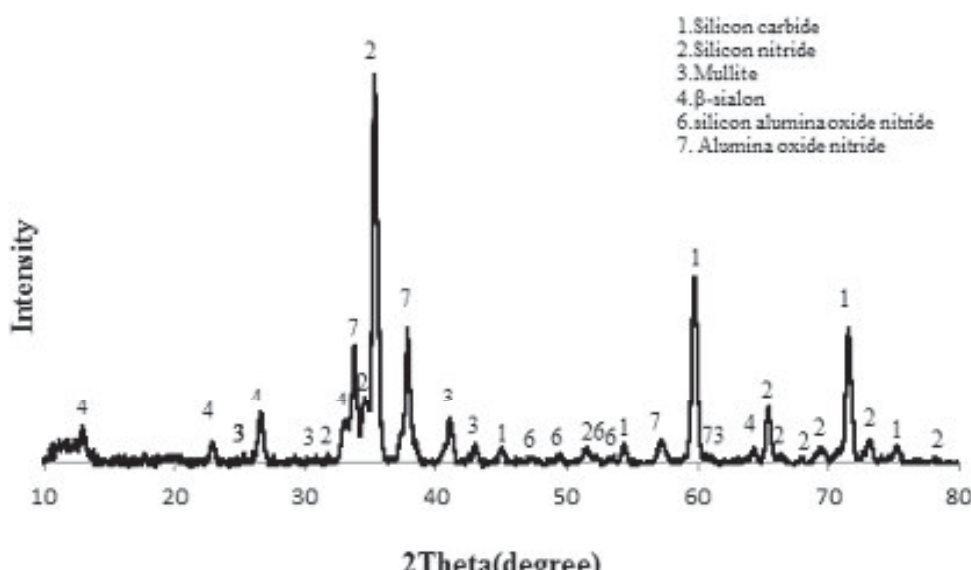
### ۳-۴- اثر اتمسفر سینتر بر ریزساختار

تصاویر شکل ۹ مربوط به نمونه‌های سینتر شده در اتمسفر اکسیدی و در دمای ثابت  $1500^{\circ}\text{C}$  و زمان سینتر ۵ ساعت است. مشاهده می‌شود که در تصویر ۹a فاز شیشه تشکیل یک زمینه به هم پیوسته را داده که در دورن این زمینه به هم پیوسته تخلخل‌های باز وجود دارد که ناشی از خروج گاز  $\text{CO}_2$  است. همچنین در تصویر ۹b تعدادی تیغه دیده شده است که با توجه به نوع واکنش و الگوی پراش ایکس موجود در شکل ۱۰، این تیغه‌ها مربوط به فاز مولایت باشد ولی مقدار این تیغه‌ها به اندازه‌ای نیست که کل تخلخل‌ها را پوشش دهد.

در تصویر ۱۱b نیز تعدادی ویسکر دیده می‌شود که مربوط به فازهای مولایت و بتا-سیالون است ولی در اینجا نیز مشاهده می‌شود که مانند شکل ۹b این ویسکرها نتوانسته‌اند کل تخلخل را پوشش دهند (تصور می‌شود که این امر به دلیل کم بودن مقدار بالکلی مصروفی است) و حتی مشاهده می‌شود که برخی از آن‌ها نتوانسته‌اند به قدر کافی رشد نمایند که این امر نشان دهنده کم بودن زمان سینتر برای رشد این فازها است (نتایج XRD دقیق‌تر از نتایج EDS است و حضور فازها به روشنی در آن یافت می‌شود). بنابراین مطابق این تصاویر دیده شد که در این شرایط پخت میزان فاز شیشه در اتمسفر نیتریدی بسیار کمتر از فاز شیشه در اتمسفر اکسیدی است که علت آن، وجود اکسیژن کافی در اتمسفر اکسیدی برای تشکیل فاز  $\text{SiO}_2$  است.

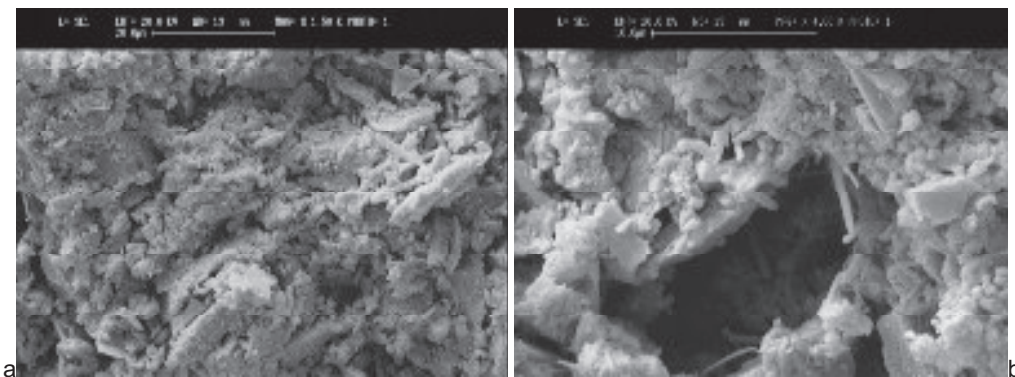


شکل ۹- تصاویر میکروسکوپ الکترونی روبشی از نمونه‌های سینتر شده در اتمسفر اکسیدی



شکل ۱۰- الگوی پراش پرتو ایکس نمونه سینتر شده در اتمسفر نیتریدی





شکل ۱۱- تصاویر میکروسکوپ الکترونی روبشی از نمونه‌های سینتر شده در اتمسفر نیتریدی

#### ۴- نتیجه‌گیری

- ۱- با پخت نمونه‌های کاربید سیلیسیم به همراه رس در اتمسفر نیتریدی، عیب تاول‌زدگی برطرف شد. در نتیجه یکی از مکانیزم‌های تشکیل عیب تاول‌زدگی، اکسیدشدن ذرات کاربید سیلیسیم است. در این اتمسفر پس از پخت قطعات از نظر ظاهری وضعیت مطلوبی داشتند به طوری که به نظر می‌رسد اکسیدشدن کاربید سیلیسیم متوقف شده است. در حالی که در اتمسفر اکسیدی، نمونه دچار تاول‌های شدید شد. علت این است که آلومینا با واکنش با سیلیکای حاصل از اکسیداسیون موجب کنار رفتن فیلم  $\text{SiO}_2$  محافظ بر دانه‌های کاربید سیلیسیم شده و در نتیجه هوا به سرعت به داخل بدن و سطح دانه‌های کاربید سیلیسیم نفوذ می‌کند.
- ۲- نمونه‌های سینتر شده در اتمسفر اکسیدی نسبت به نمونه‌های سینتر شده در اتمسفر نیتریدی دارای استحکام خمی در دمای اتاق بیشتری هستند که علت این امر وجود فاز شیشه بیشتر در بین ذرات کاربید سیلیسیم است.

۳- بررسی‌ها نشان می‌دهد که به ترتیب چگالی و تخلخل در نمونه SBOA بیشتر و کمتر از نمونه SBNA بوده که این امر نیز به بالاتر بودن فاز شیشه در نمونه SBOA نسبت داده می‌شود.

۴- براساس تصاویر میکروسکوپ الکترونی روبشی به نظر می‌رسد که در نمونه SBNA توزیع تخلخل‌ها یکنواخت‌تر و تعداد تیغه‌های تشکیل شده در داخل تخلخل‌ها بیشتر شده است. اما چون در اتمسفر نیتریدی مقدار فاز شیشه تشکیل شده کمتر بوده و مقدار این تیغه‌ها کم است استحکام خمی سرد پایین است.

#### مراجع

۱. ولگانگ شوله، "مواد دیرگذار"، ترجمه طاهر محمودیان، انتشارات جانان، تهران، بهار ۱۳۷۸.
2. V. P. Sivov, "Clay- Silicon Carbide Refractories Based on Technogenic Materials Produced by Slip Casting", Glass and Ceramics, Vol 58, Nos 9-10, 2001.
3. W. E .Lee & W. M. Rainforth, Ceramic Microstructures book: "Property Control by Processing", Chapman & Hall PP 395-495, 1994.
4. S. Somiya Y. Inomata, "Silicon Carbide-2", Elsevier Applied Science Publishers Ltd, London.
5. K. H. Jack, "Nitrogen Ceramic" Trans. J. Brit. Ceram. Soc, 376-384, 72, 1973.
6. Haijun Zhang, Bo Han, Zhanjie Liu, "Preparation and Oxidation of Bauxite- based  $\beta$ -Sialon-bonded Sic Composite", Materials Research Bulletin, 1681-1689, 41(2006).
7. P. Pastila, E. Lara - Curzio, A.P. Nikkila, T. Mantyla, "Microstructure and Fracture of some SiC-based Clay Bonded Hot Gas Filter Materials After Exposure to Thermal Cycling and/or High Temperature Water Vapour", Institute of Materials Science Tampere University of Technology korkeakoulunkatu 6, 2003.
8. H. Q. Ru, N. Zhang, P. Z. Yu and X. D. Sun, "Direct Synthesis of Sialon/SiC Multiphase Refractory using Clay", Acta Metallurgical Since (English Letters), Vol 12.NO5, PP1179, October 1999.
9. Ke Changming, J. J. Edrees and A. Hendry, "Fabrication and Microstructure of Sialon-bonded Silicon Carbide", Journal of European Ceramic Society, Volume 19, Issue12, October 1999.



10. W. E. Lee, G. P. Souza, C. J. McConville, T. Tarvornpanich and Y. Iqbal, "Mullite Formation in Clays and Clay-derived Vitreous Ceramics", Vol 28, Issue 2, PP465-471, 8 April 2007.
11. N. N. Ault, "Raw Materials for Refractories SiC and Si<sub>3</sub>N<sub>4</sub>", proceeding of The Raw Materials for Refractories Conference: Ceramic Engineering and Science proceeding, published by The American Ceramics Society, Into, Columbus, 186-193, 1982.
12. J. H. Chesters, "Refractories Production and Properties", Published by the Iron and Steel Institute Carlton House Terrace, 1973.
13. C. Y. Chen, G. S. LAN, W. H. Tuan, "Preparation of Mullite by Reaction Sintering of Kaolinite and Alumina", Journal of the European Ceramic Society 2519-2525, 20(2000).
14. I. Higgins. And a. Hendry, "Production of  $\beta$ -Sialon by Carbothermal Reduction of Kaolinite", J. Brit. Ceram. Tranc, 161-166, 85(1986).
15. E. Kokmeiger, C. Scholte, F. Blomer, R. Metselaar, "the Influence of Process Parameters and Starting Composition on the Carbothermal Production of Sialon", J.Mate.Sci.1261-1267,25(1990).
16. Shuqiang Ding, Sumin Zhu, Yu-Ping Zeng, Dongliang Jiang, "Fabrication of Mullite-Bonded Porous Silicon Carbide Ceramics by in Situ Reaction Bonding", Journal of the European Ceramic Society, PP 2095-2102, 27(2007).

